

**ESTIMACIÓN DE CRECIDAS DE  
ALTO PERÍODO DE RETORNO  
MEDIANTE FUNCIONES DE  
DISTRIBUCIÓN CON LÍMITE  
SUPERIOR E INFORMACIÓN NO  
SISTEMÁTICA**

**Tesis doctoral presentada por:  
Blanca Adriana Botero Hernández  
Dirigida por: Dr. Félix Francés**

**LLAMADA** a los ingenieros e hidrólogos a la estimación precisa de la probabilidad de ocurrencia de crecidas extremas

**NECESIDAD** real de: Evaluación  
Diseño  
Planeación

**EVITAR** pérdidas humanas y económicas (Inundación de poblaciones, daños a obras civiles, daños agrícolas, daños medioambientales... CATÁSTROFES)

- Según proyecto → **estimar crecidas de mayor o menor probabilidad de ocurrencia**
- Crecidas de menor probabilidad de ocurrir **asociadas a proyectos o situaciones críticas**  
como: Grandes presas, emplazamiento de plantas nucleares, protección de ciudades contra inundaciones y otras donde algún fallo produciría grandes pérdidas económicas, humanas y medioambientales
- En algunos proyectos de este tipo es necesaria la estimación de la crecida máxima probable, **PMF**

Problemas en la estimación de crecidas, entre otros:

**Incertidumbre** en la estimación, asociada a la longitud relativamente corta de los registros. Menor que el  $T_r$  de la crecida de interés...  
... extrapolaciones

**Límite físico** para las crecidas que se pueden dar en una cuenca de características climáticas e hidrológicas determinadas. No incorporado en el análisis

Varias técnicas existentes para mejorar la estimación, entre ellas:

- Extender la longitud del período con información: introduciendo datos adicionales al registro de la estación de aforo. **Información No Sistemática**
- Introducir límite: **funciones de distribución con límite superior**

¿Es posible **mejorar** la estimación de las crecidas de **alto período de retorno** utilizando **información No Sistemática** y **funciones de distribución con límite superior**?

---

# OBJETIVOS

- Estructurar una **metodología** para la estimación de crecidas de alto período de retorno con funciones de distribución con límite superior e información No Sistemática
- Analizar el **comportamiento** de las funciones.  
Habilidad descriptiva, predictiva
- Establecer el **error** de los estimadores al usar esta metodología
- Determinar condiciones y **recomendaciones** de uso

---

- **CONCEPTOS FUNDAMENTALES**

- **METODOLOGÍA**

- **APLICACIÓN**

- **ANÁLISIS DEL ERROR**

- **CONCLUSIONES**

---

## Conceptos Fundamentales:

- Crecidas de alto período de retorno
- Funciones de distribución con límite superior
- Información No Sistemática



---

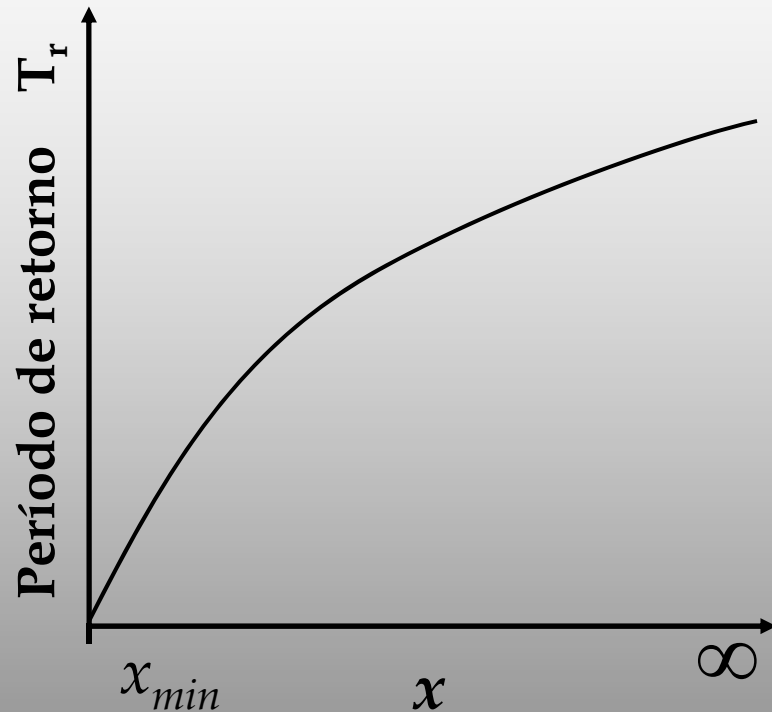
## Crecidas de Alto Período de Retorno

Según el interés del proyecto:

Probabilidad de ocurrencia anual	Período de retorno (Tr) [años]
$\leq 10^{-3}$ (NRC, 1988; Naghettini et al., 1996)	$\geq 1000$
$\leq 2 \times 10^{-3}$ (England et al., 2003)	$\geq 500$

# Funciones de Distribución con Límite Superior

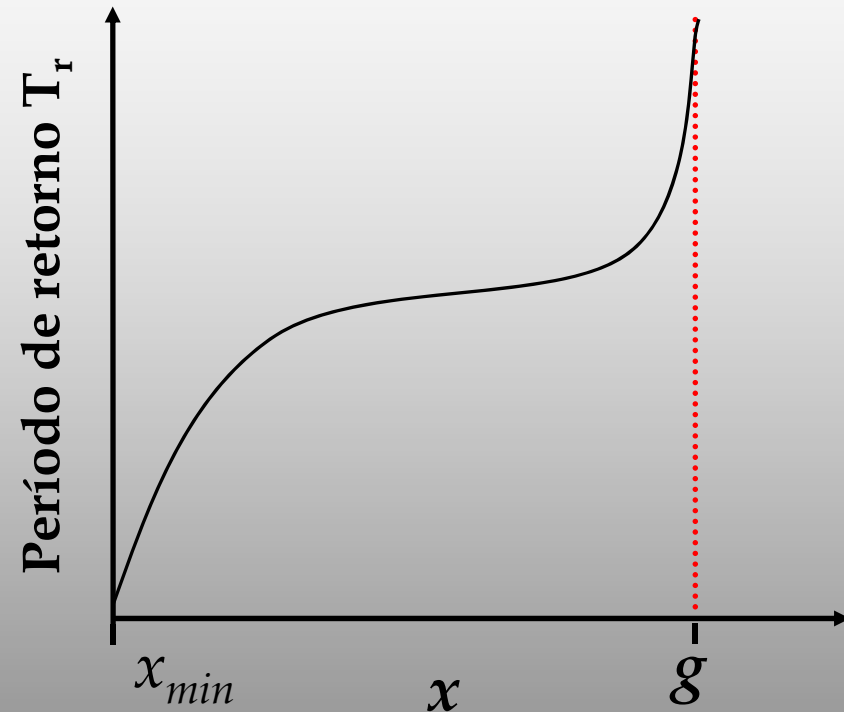
Sin límite



$$F(x) < 1 \quad x < \infty$$

$$F(x) \rightarrow 1 \quad x \rightarrow \infty$$

Con límite



$$F(x) < 1 \quad x < g$$

$$F(x) = 1 \quad x \geq g$$

Funciones con límite superior utilizadas en hidrología de extremos:

Precipitación (Eliasson, 1994 y 1997; Takara y Loebis, 1996; Takara y Tosa, 1999)

Caudales (Takara y Tosa, 1999). Todos reportan aumento de precisión en la estimación de los cuantiles

**EV4** (Función de Distribución de Valor Extremo de 4 Parámetros)

**TDF** (Función de Distribución de Valor Extremo Transformada)

**LN4** (Función de Distribución LogNormal de 4 Parámetros)

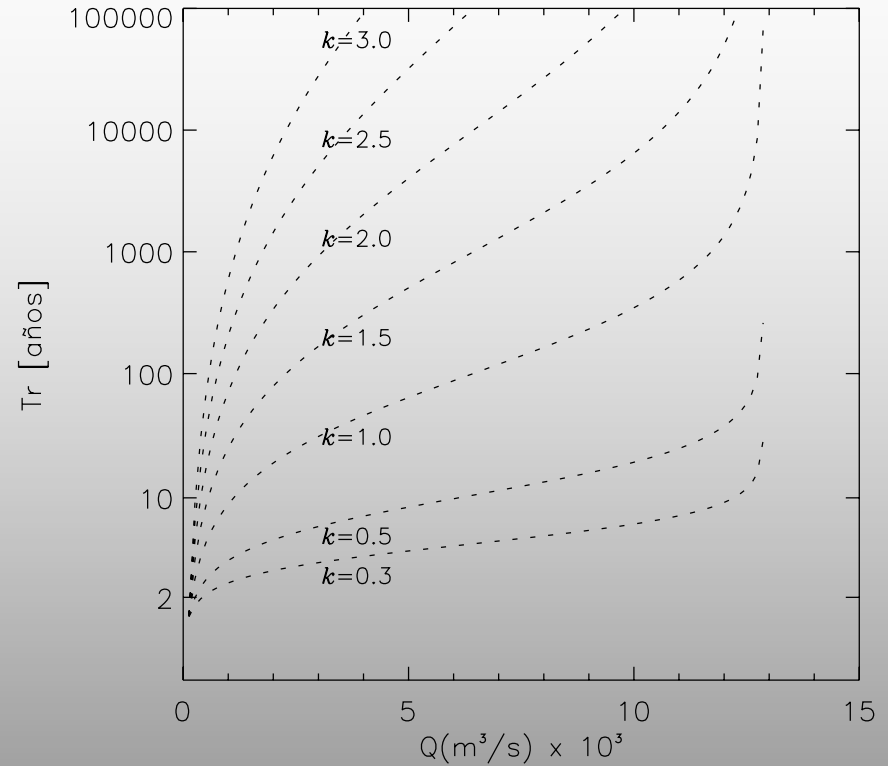
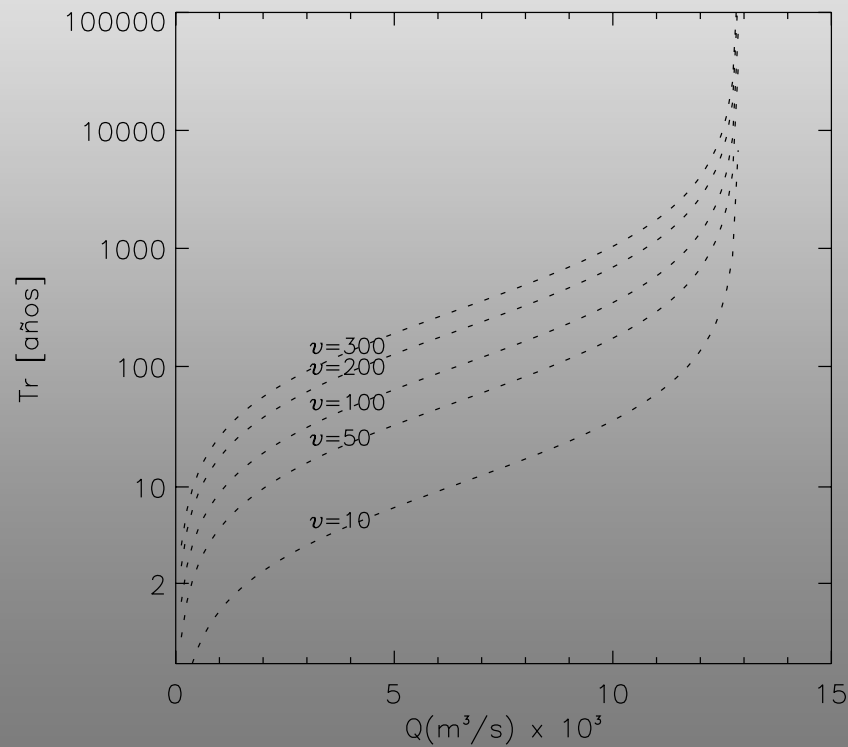
## Función de Distribución EV4

$$F(x) = \exp\left[-\left\{\frac{g-x}{v(x-a)}\right\}^k\right]$$
$$F(x) = \exp\left[-\left\{\frac{\textcircled{g}-x}{v(x-a)}\right\}^k\right]$$

- Pertenece a la familia de las distribuciones de valor extremo
- Formulada a partir de las funciones EV tipo II y tipo III
- Propuesta por Kanda (1981)
- Utilizada por primera vez en Hidrología por Takara y Tosa (1999)

# Función de Distribución EV4

**Parámetro  $v$  escala**



**Parámetro  $k$  forma**

**Gumbel:**  $F(x) = \exp\left[-\exp\left(-\left(\frac{x}{a} + b\right)\right)\right]$

**Variable reducida**  $y = -\ln(-\ln[F(x)]) = \frac{x}{a} + b$

**Transformación**  $y = \frac{x}{a} + b + \frac{k}{\left(\frac{g}{a} + b\right) - \left(\frac{x}{a} + b\right)}$

**Transformación**

$$y = \frac{x}{a} + b + \frac{k}{\left(\frac{g}{a} + b\right) - \left(\frac{x}{a} + b\right)}$$

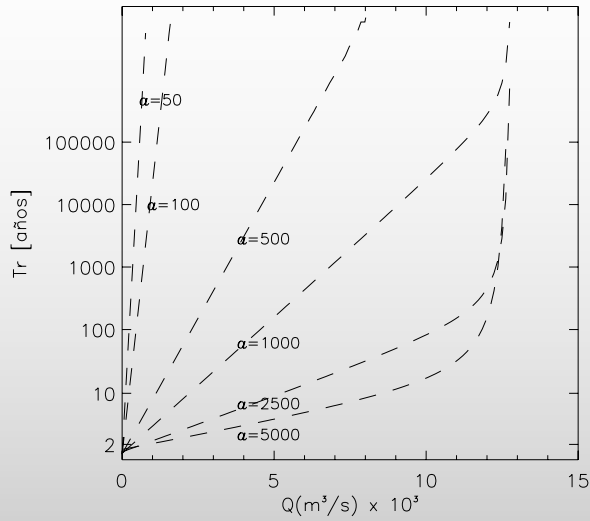
---

# Función de Distribución TDF

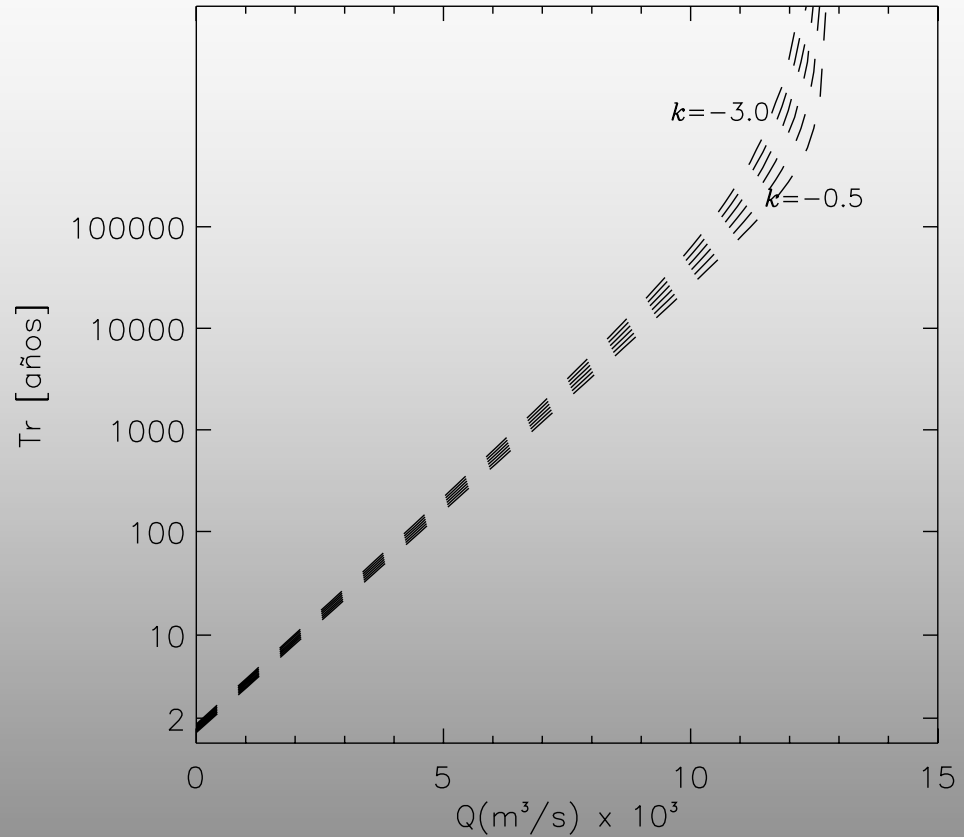
Propuesta por Eliasson (1994)

$$F(x) = \exp \left[ - \exp \left( -z + \frac{k}{y_{\text{lim}} - z} \right) \right]$$

$$z = \frac{x}{a} + b \quad y_{\text{lim}} = \frac{g}{a} + b$$

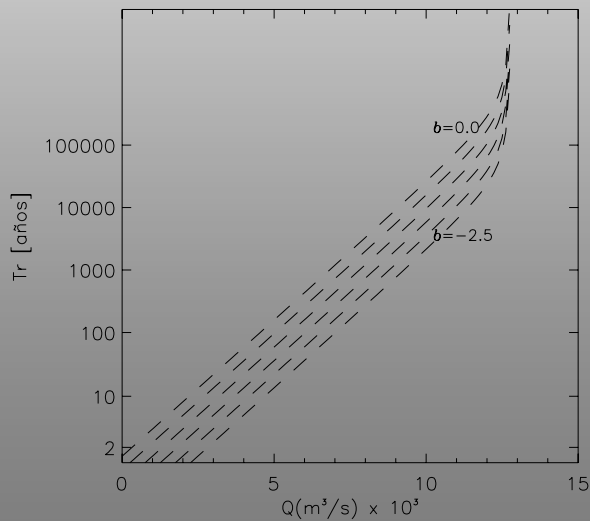


**a** controla la pendiente



**k** parámetro negativo

Forma de aproximarse al límite



**b** parámetro de localización



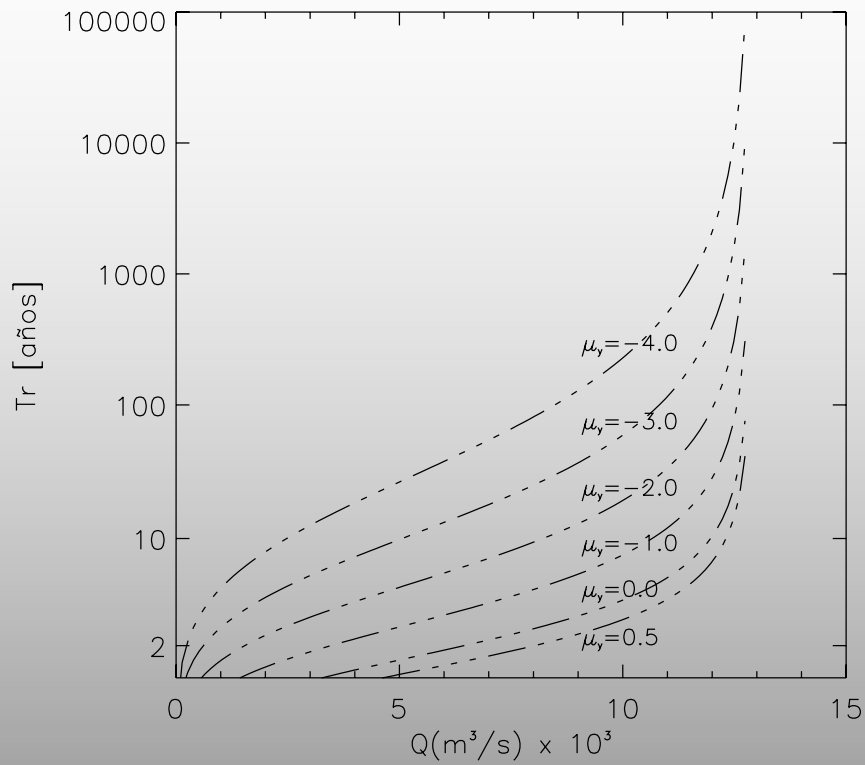
## Función de Distribución LN4

Utilizada en Hidrología por Takara y Loebis (1996)

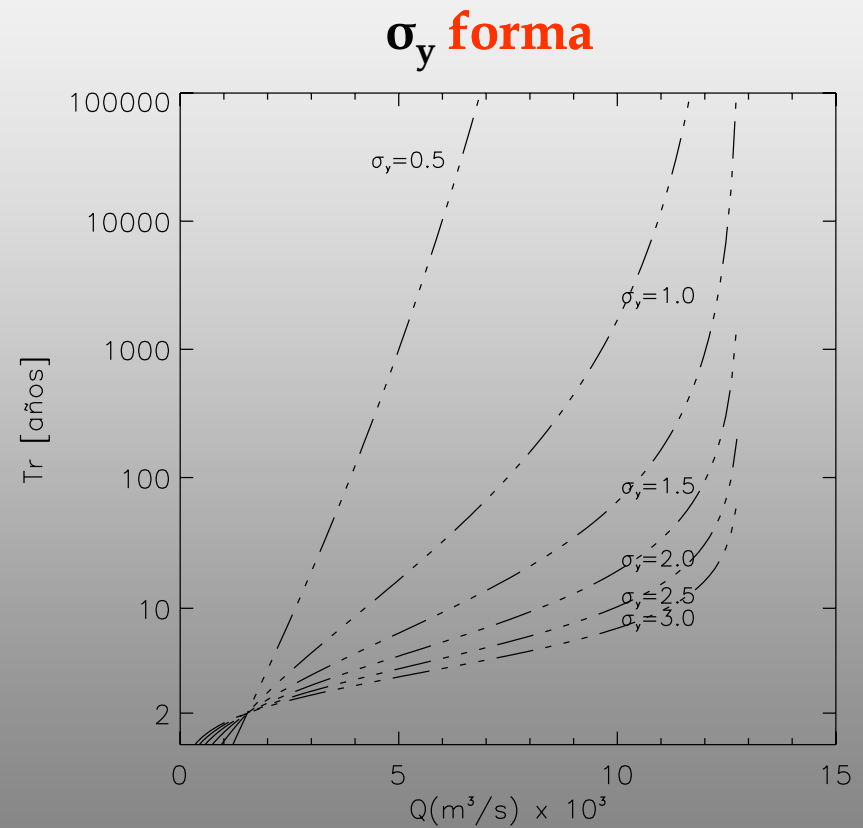
Variable transformada  $y$ , propuesta por Slade (1936)

$$y = \ln\left(\frac{x - a}{g - x}\right)$$

$$f(x) = \frac{g - a}{(x - a)(g - x)\sigma_y\sqrt{2\pi}} \exp\left[-\frac{1}{2}\left(\frac{y - u_y}{\sigma_y}\right)^2\right]$$



$\mu_y$  **localización**



$\sigma_y$  **forma**

---

# Conceptos Fundamentales

- Crecidas alto período de retorno
- Funciones de distribución con límite superior
- Información No Sistemática

---

## Información No Sistemática

- **Valor de incorporar información No Sistemática en el análisis de frecuencia de crecidas reconocido ampliamente en la literatura. Entre otros por:** Leese, 1973; USWRC, 1982; Stendinger y Cohn, 1986; Stedinger y Baker, 1987; Pilon y Adamowski, 1993; Francés et al., 1994; Cohn et al., 1997; O'Connell et al., 2002; England et al., 2003; Benito et al., 2004a; O'Connell, 2005...
- **Información adicional al registro sistemático de la estación de aforo**
- **Según su origen se clasifica en:**
  - Información Histórica**
  - Información sobre Paleocrecidas**

## Información Histórica

Información sobre los daños producidos, las fechas y niveles alcanzados, entre otros, por crecidas recopiladas en documentos históricos tales como:

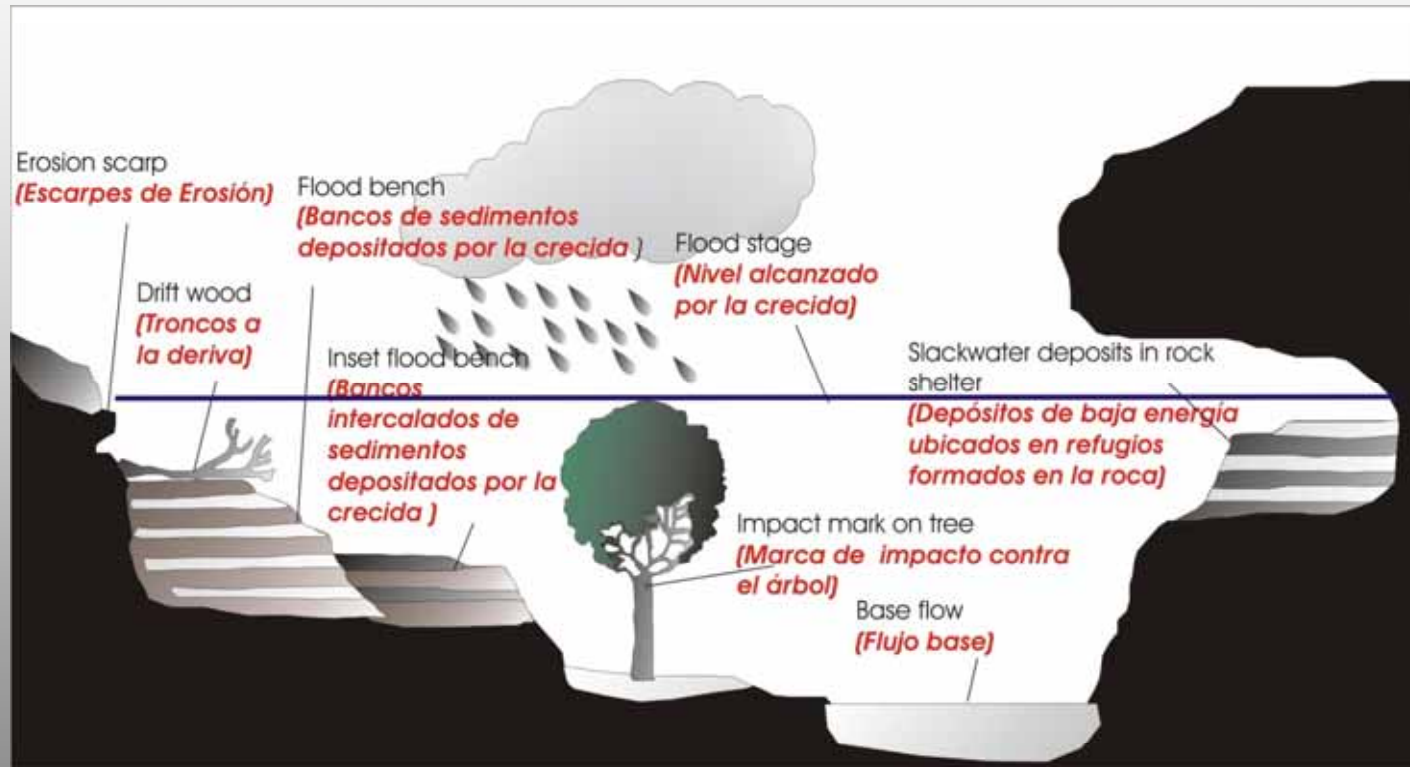
- Eclesiásticos (Archivos parroquiales)
- Archivos municipales
- Otros: Periódicos, Reportes técnicos de daños sufridos por construcciones de la época, Crónicas, Reportes de marcas dejadas por el agua en los edificios locales...

**Resultado** → Cronología de eventos : Fecha, daños, niveles alcanzados, caudal de la crecida

Historiadores e hidráulicos

## Información de Paleocrecidas

### Información obtenida de evidencias dejadas por la crecida



Esquema. Sección transversal del cauce y valle de inundación

Tomado de Benito et al. 2004b

Recopilada y analizada por geólogos, geomorfólogos e hidráulicos que finalmente obtienen, fecha, nivel, caudal mínimo...

Información Histórica

Información de Paleocrecidas

Hay información de una crecida porque **excedió** algún **umbral** a partir del cual **quedó** en la memoria de la población, en los documentos históricos o **dejó** huellas físicas que se conservan hasta ahora

**Umbral de percepción  $X_H$**

(Stedinger y Cohn, 1986 y Francés et al, 1994)

Información No Sistemática  
para el análisis estadístico se  
traduce a grandes rasgos en :

Fecha y magnitud de la crecida

Fecha en que  $X_H$  fue excedido

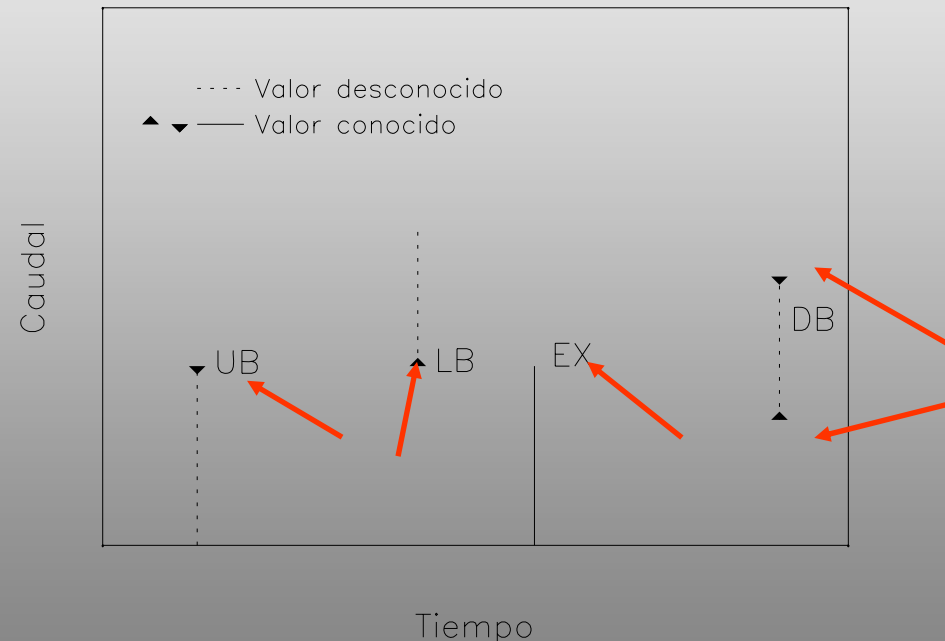
## Clasificación de los Datos

**EX** (Exacto) → Magnitud de la crecida

**UB** (Upper Bound) → Límite superior no excedido

**LB** (Lower Bound) → Límite inferior excedido

**DB** (Double Bound) → Crecida dentro de Intervalo



Si solo UB y EX: Información Censurada (**CE**)

Si solo UB y LB: Información Binomial Censurada (**BC**)



---

• CONCEPTOS FUNDAMENTALES

• **METODOLOGÍA**

• APLICACIÓN

• ANÁLISIS DEL ERROR

• CONCLUSIONES

---

## Estimación de parámetros por **Máxima Verosimilitud**

- Permite incorporar fácilmente cualquier tipo de dato
- Estimadores más eficientes con muestras largas

**Función de verosimilitud  $L(\Theta)$**  → **Probabilidad conjunta de ocurrencia de la muestra**

**Si variable es i.i.d** → **Producto de las probabilidades de ocurrencia de cada observación**

$$L_X(\Theta) = \prod_{i=1}^n f_X(x_i, \Theta)$$

**$L(\Theta)$  de muestra con datos EX, UB, DB, LB** → **El producto de la probabilidad de ocurrencia de cada uno de ellos**  
 → “el aporte de cada tipo de dato”

$$L_X(\Theta) = \prod_{i=1}^{N_{EX}} f_X(EX_i, \Theta) \prod_{i=1}^{N_{UB}} F_X(UB_i, \Theta) \prod_{i=1}^{N_{LB}} [1 - F_X(LB_i, \Theta)] \prod_{i=1}^{N_{DB}} [F_X(UR_i, \Theta) - F_X(LR_i, \Theta)]$$

**En el caso de las 3 distribuciones propuestas se desarrolla explícitamente la función de verosimilitud**

## Función de verosimilitud para la EV4

$$LL_{EX}(\Theta) = N_{EX} \ln(k) + (k-1) \sum_{i=1}^{N_{EX}} \ln(g - EX_i) - (k+1) \sum_{i=1}^{N_{EX}} \ln(EX_i - a)$$

$$- \sum_{i=1}^{N_{EX}} \left[ \frac{g - EX_i}{v(EX_i - a)} \right]^k + N_{EX} \ln(g - a) - N_{EX} k \ln(v)$$

$$LL_{UB}(\Theta) = - \sum_{i=1}^{N_{UB}} \left[ \frac{g - UB_i}{v(UB_i - a)} \right]^k$$

$$LL_{LB}(\Theta) = \sum_{i=1}^{N_{LB}} \ln \left[ 1 - \exp \left[ - \frac{g - LB_i}{v(LB_i - a)} \right]^k \right]$$

$$LL_{DB}(\Theta) = \sum_{i=1}^{N_{DB}} \ln \left[ \exp \left[ - \frac{g - UR_i}{v(UR_i - a)} \right]^k - \exp \left[ - \frac{g - LR_i}{v(LR_i - a)} \right]^k \right]$$

## Función de verosimilitud para la TDF

$$LL_{EX}(\Theta) = -\sum_{i=1}^{N_{EX}} \exp\left[-\frac{EX_i}{a} + \frac{ak}{g - EX_i} - b\right] - \sum_{i=1}^{N_{EX}} \frac{EX_i}{a} + \sum_{i=1}^{N_{EX}} \frac{ak}{g - EX_i} - Nb$$

$$+ \sum_{i=1}^{N_{EX}} \ln\left[\frac{1}{a} - \frac{ak}{(g - EX_i)^2}\right]$$

$$LL_{UB}(\Theta) = -\sum_{i=1}^{N_{UB}} \exp\left[\frac{UB_i}{a} + \frac{ak}{g - UB_i} - b\right]$$

$$LL_{LB}(\Theta) = \sum_{i=1}^{N_{LB}} \ln\left[1 - \exp\left[\exp\left[\frac{LB_i}{a} + \frac{ak}{g - LB_i} - b\right]\right]\right]$$

$$LL_{DB}(\Theta) = \sum_{i=1}^{N_{LB}} \ln\left\{\exp\left[\exp\left(\frac{UR_i}{a} + \frac{ak}{g - UR_i} - b\right)\right] - \exp\left[\exp\left(\frac{LR_i}{a} + \frac{ak}{g - LR_i} - b\right)\right]\right\}$$

## Función de verosimilitud para la LN4

$$LL_{EX}(\Theta) = N_{EX} \ln(g - a) - \sum_{i=1}^{N_{EX}} \ln(EX_i - a) - \sum_{i=1}^{N_{EX}} \ln(g - EX_i) - N_{EX} \ln(\sigma_y)$$

$$N_{EX} \ln(\sqrt{2\pi}) - \frac{1}{2} \sum_{i=1}^{N_{EX}} \left[ \frac{\ln\left(\frac{EX_i - a}{g - EX_i}\right) - \mu_y}{\sigma_y} \right]^2$$

$$LL_{UB}(\Theta) = \sum_{i=1}^{N_{UB}} \ln \Phi \left[ \left[ \left( \frac{UB_i - a}{g - UB_i} \right) - \mu_y \right] / \sigma_y \right]$$

$$LL_{LB}(\Theta) = \sum_{i=1}^{N_{LB}} \ln \left[ 1 - \Phi \left[ \left( \frac{LB_i - a}{g - LB_i} \right) - \mu_y / \sigma_y \right] \right]$$

$$LL_{DB}(\Theta) = \sum_{i=1}^{N_{DB}} \ln \left\{ \Phi \left[ \left( \frac{UR_i - a}{g - UR_i} \right) - \mu_y / \sigma_y \right] - \Phi \left[ \left( \frac{UR_i - a}{g - UR_i} \right) - \mu_y / \sigma_y \right] \right\}$$

---

## Estimación del Límite Superior

Desafortunadamente en ciertos casos

$\hat{g}$  por **ML**  $\rightarrow$  **Máximo observado**

- Hidrología con funciones de límite superior (Eliasson, 1994 y 1997; Takara y Loebis, 1996; Takara y Tosa, 1999) :

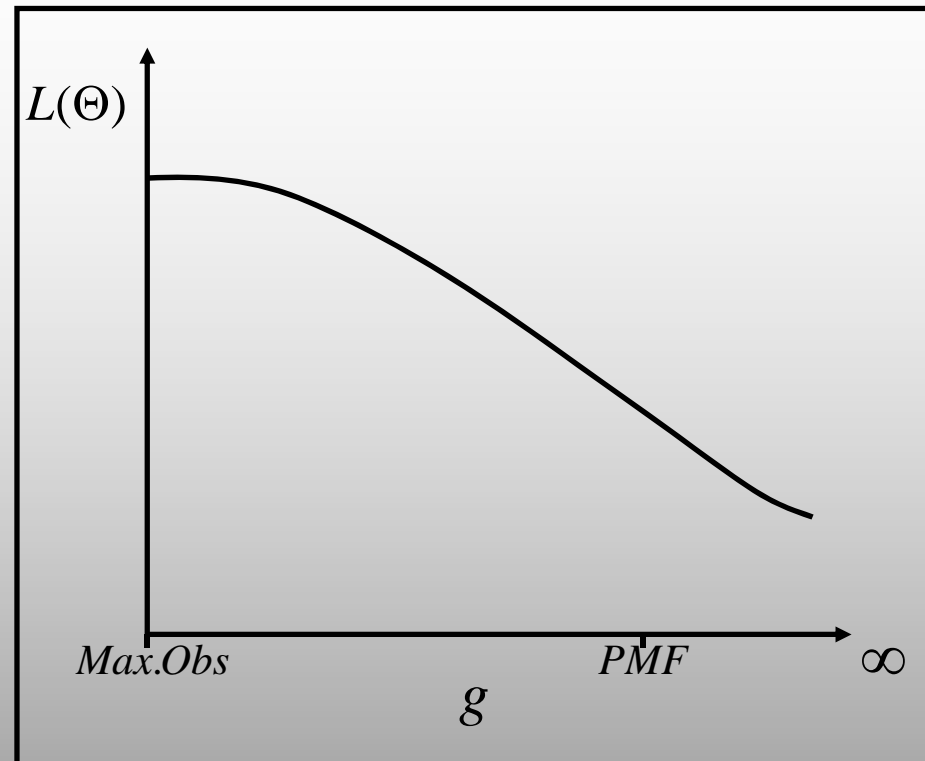
No se reporta que  $\hat{g}$  por ML=Máximo observado

Desafortunadamente en ciertos casos

Estimar límite superior  $g$ , por ML como un parámetro más

$\hat{g}$  por **ML**  $\rightarrow$  **Máximo observado**

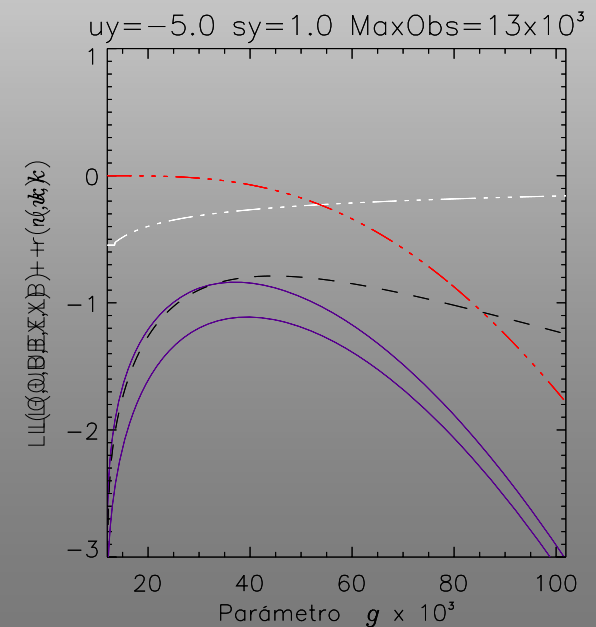
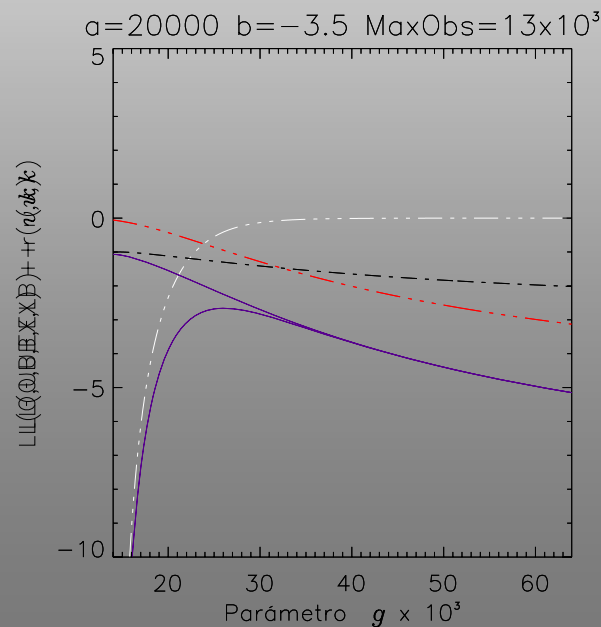
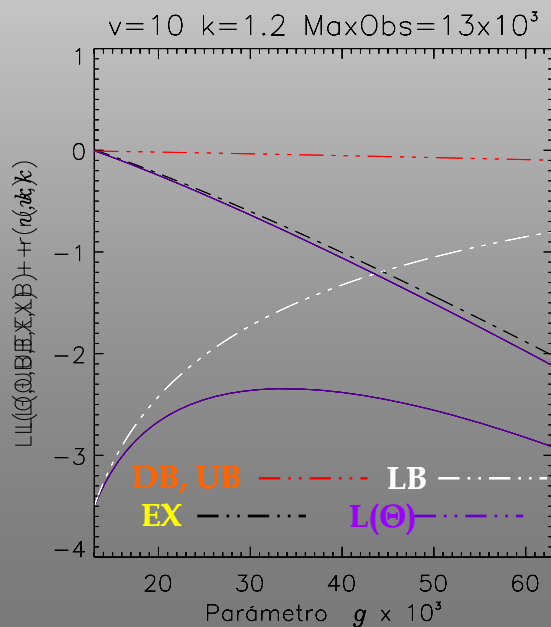
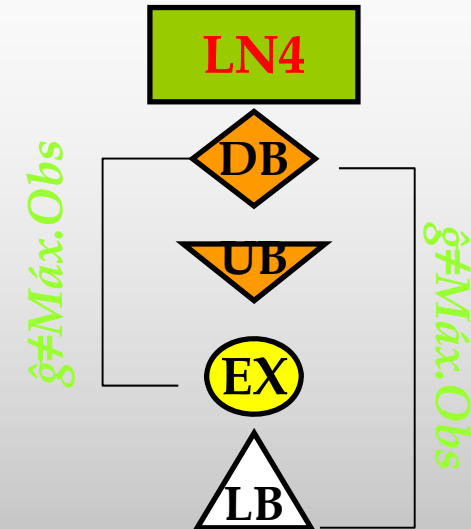
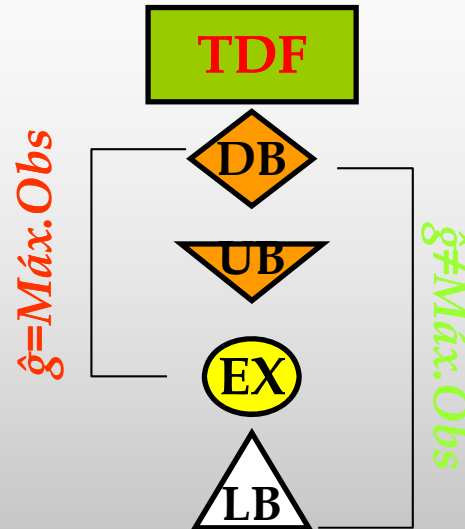
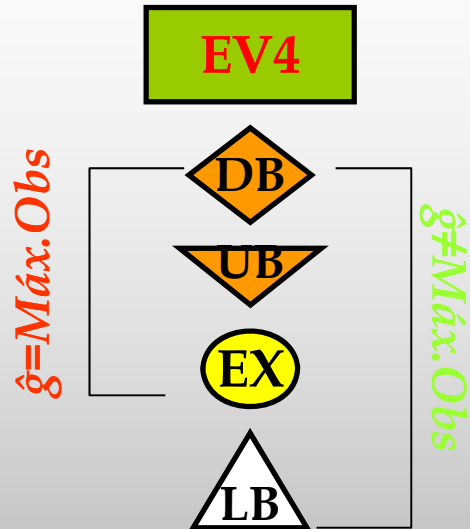
- Sin embargo  $\rightarrow$  Para la EV4 a medida que  $\hat{g}$  se acerca al Máximo observado el ajuste mejora (Takara y Tosa,1999)
- Sismología (Kijko y Sellevoll, 1989) $\rightarrow$  Información No Sistemática + distribución con límite superior + ML  $\rightarrow g$  se estima por otro método  $\neq$ ML



Para esta función en particular la función de verosimilitud es **monótonamente decreciente** con  $g$  (Kijko y Sellevoll, 1989)



## Análisis de la $L(\Theta)$ de cada una de las distribuciones

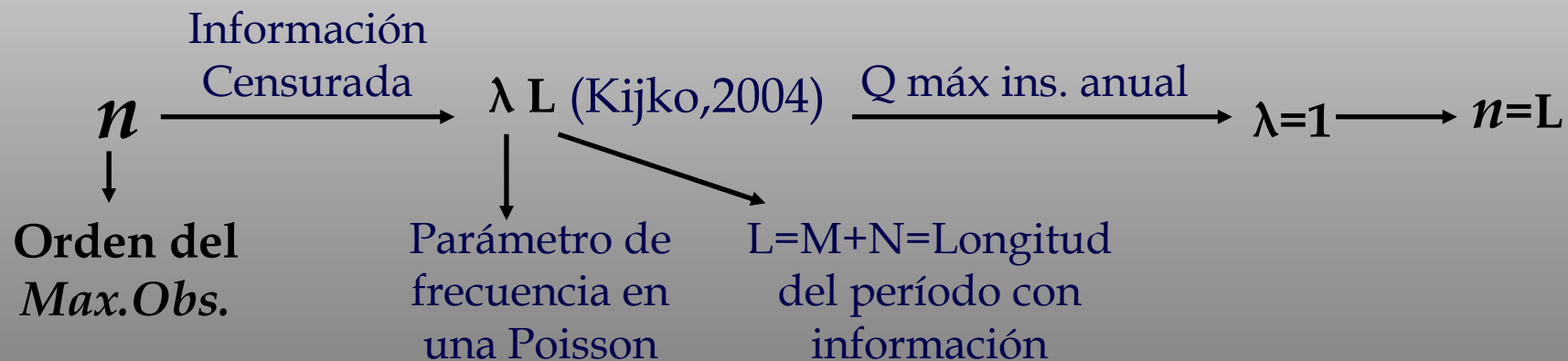


## Ecuación Genérica (EG)

$$g = \text{Max} .\text{Obs} + \int_{x_{\min}}^g [F_X(x)]^n dx$$

Propuesta por Kijko (2004),  
basado en el estimador del  
límite superior de una variable  
aleatoria de Cooke (1979)

*Max.Obs.* → Máxima observación de la información  
Sistemática y No Sistemática



**Cuando se tienen datos tipo LB no es posible establecer el orden del Max.Obs → no se puede aplicar EG**

## Límite Superior Preestablecido

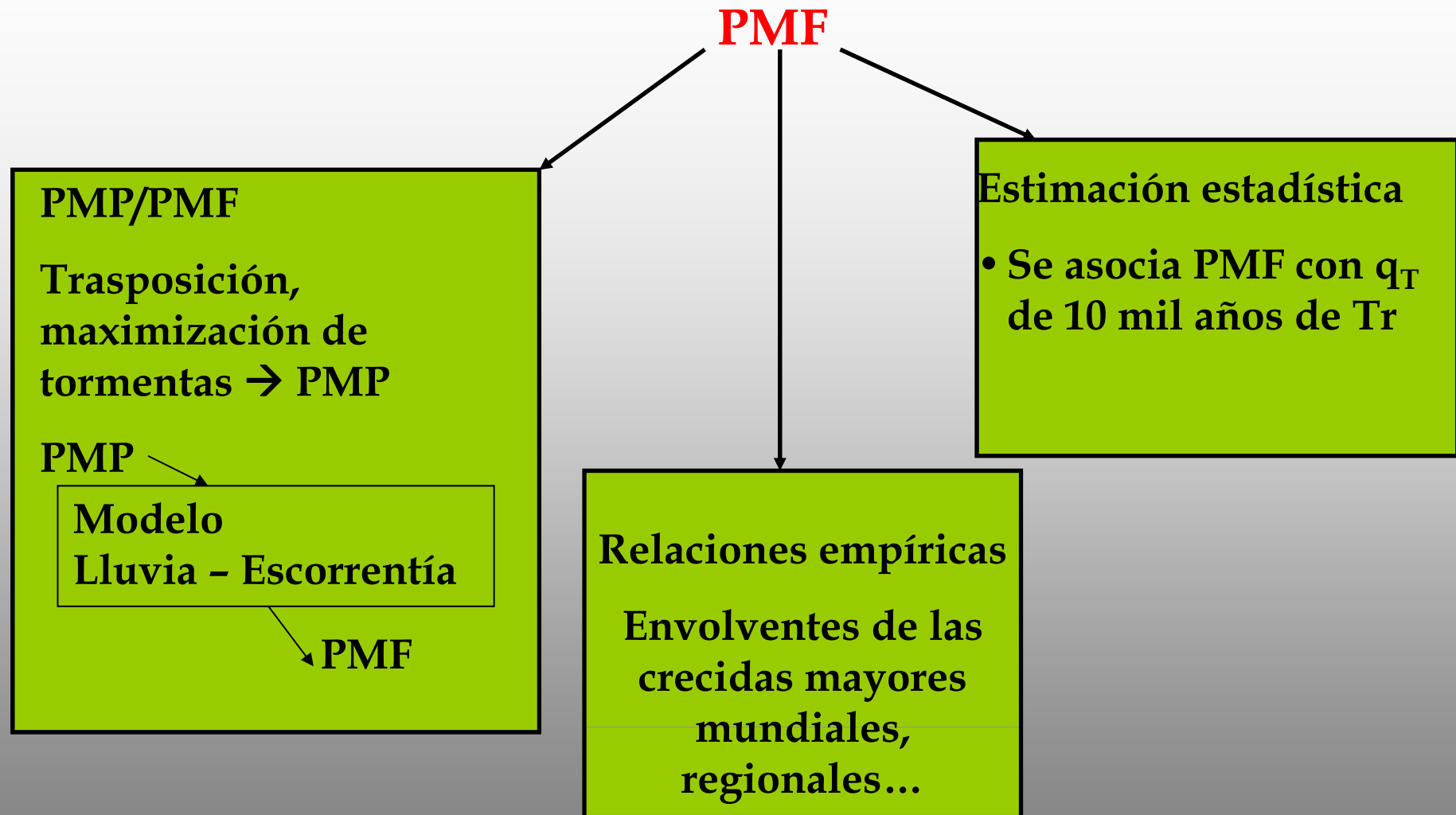
- **Máximo observado**
- **Crecida máxima probable (PMF, *Probable Maximum Flood*)**

## **PMF**

“...la crecida que se puede esperar de la combinación de las más severas condiciones razonablemente posibles en una región determinada” (US Army Corp of Engineers, 1975)

Asociada a la precipitación  
máxima probable, **PMP**

“La mayor altura acumulada de precipitación meteorológicamente posible para una duración determinada, para un tamaño de tormenta dado localizado sobre un área específica, en determinado momento del año”  
(WMO, 1986)



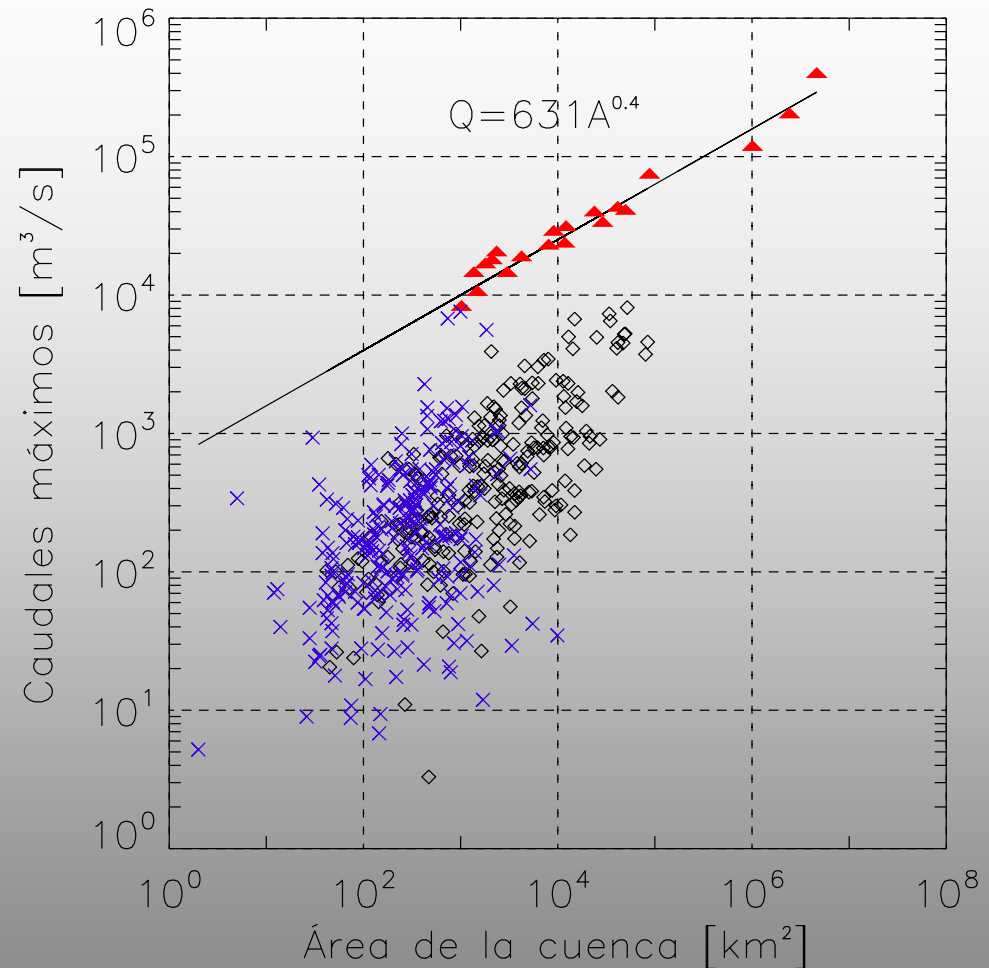
$$PMF = 10^6 \left( \frac{A}{10^8} \right)^{(1-0.1k)}$$

Francou y Rodier (1969)

- 1200 crecidas máximas vs área

Rodier y Roche (1984)

- Completan el estudio con crecidas de 95 países.
- Obtienen  $k=6$  para las crecidas mayores y para  $A > 100 \text{ km}^2$



Crecidas Máximas mundiales  
Tomadas de Smith y Ward (1998)

## Límite Superior Preestablecido

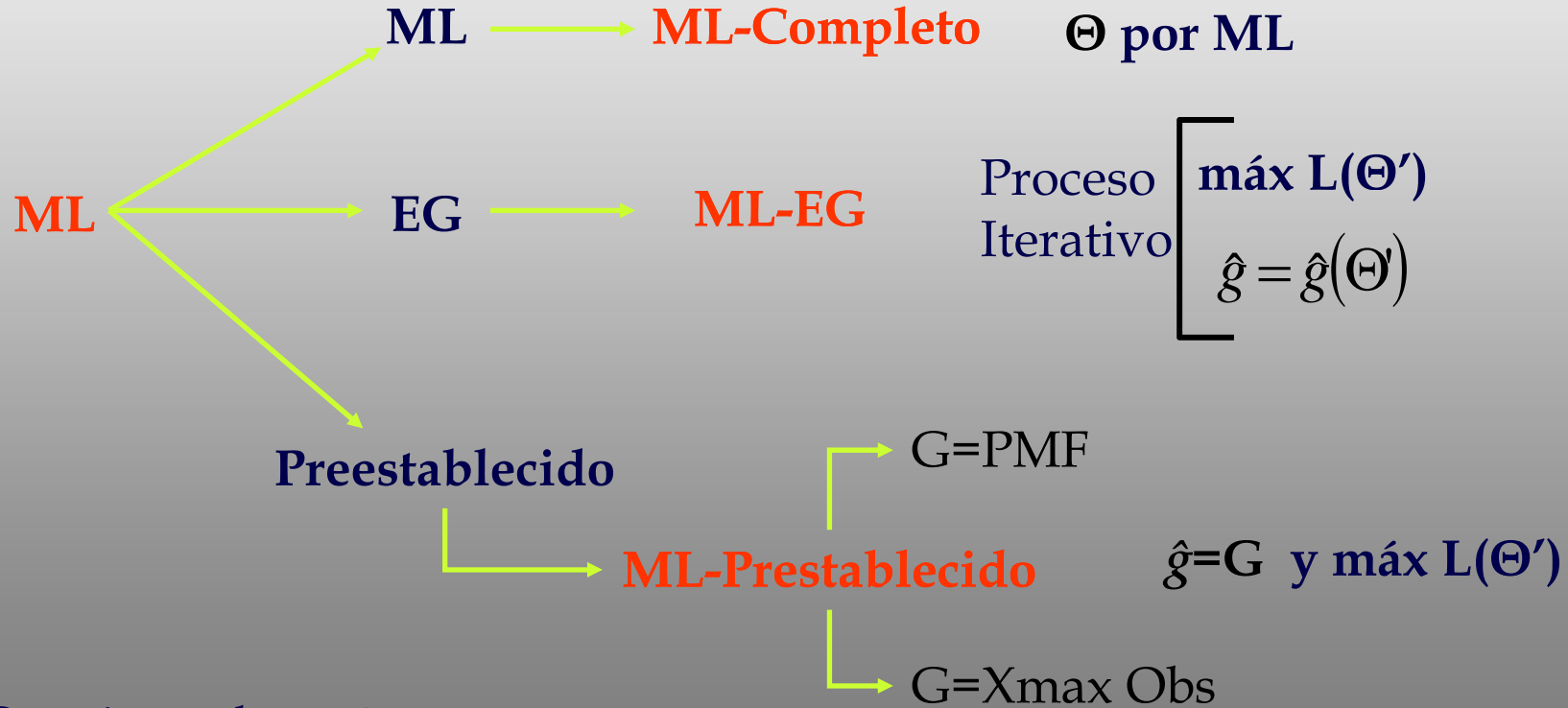
- Máximo observado
- Crecida máxima probable
  - A efectos de la presente tesis
  - Método aproximado

$$PMF = 10^6 \left( \frac{A}{10^8} \right)^{(1-0.1k)} \quad \text{Con } k=6$$

# Métodos de Estimación para Funciones con Límite Superior

Estimación  
resto de  
parámetros

Estimación  
 $g$



$\Theta$  conjunto de parámetros

$\Theta'$  conjunto de parámetros sin incluir  $g$



---

- CONCEPTOS FUNDAMENTALES

- METODOLOGÍA

- **APLICACIÓN**

- **ANÁLISIS DEL ERROR**

- **CONCLUSIONES**

- 6 sitios con información No Sistemática en la región del Mediterráneo Español. Algunos parte del proyecto europeo **SPHERE** (*Systematic, Palaeoflood and Historical data for the ImprovEment of flood Risk Estimation*)

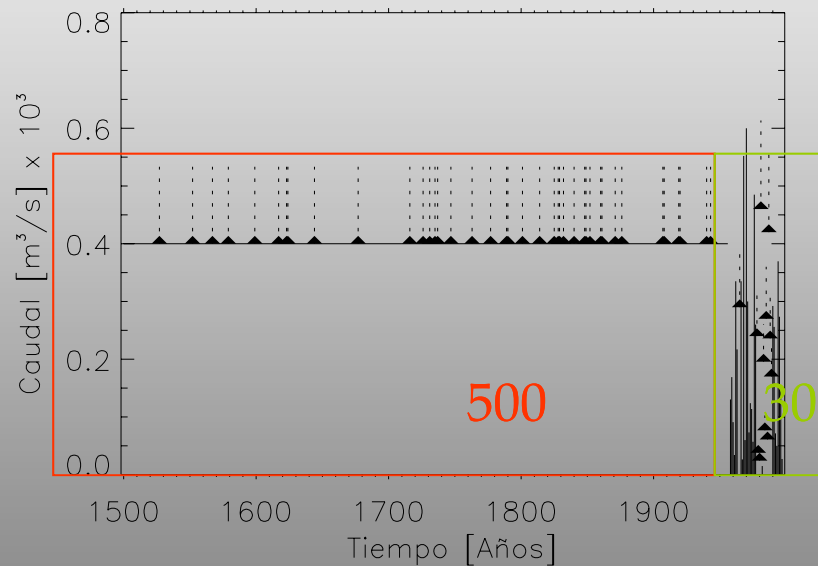
Río	Estación	Área km <sup>2</sup>	Media [m <sup>3</sup> /s]	CV	C.Asim.
Segre	Lleida	11369	995	0.95	3.05
Llobregat	Castellvell	3293	221	0.88	2.71
	Vilomara	1885	319	0.84	2.6
Onyar	Girona	295	202	0.82	0.92
Júcar	Huerto Mulet	22000	713	2.73	5.26
Turia	La presa	6300	262	2.53	4.39

• Información Histórica: 4

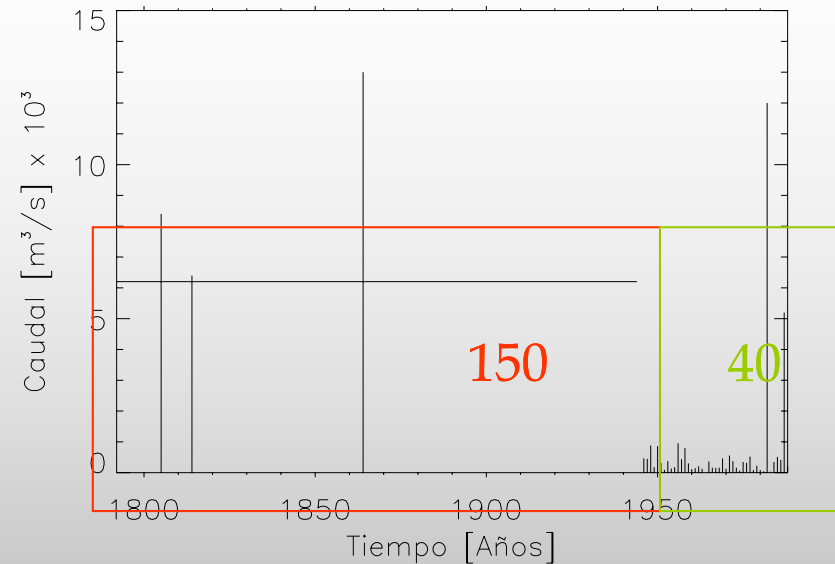
• Información de Paleocrecidas: 2

# Algunas series

Júcar: UB, EX



Onyar: LB,UB,EX



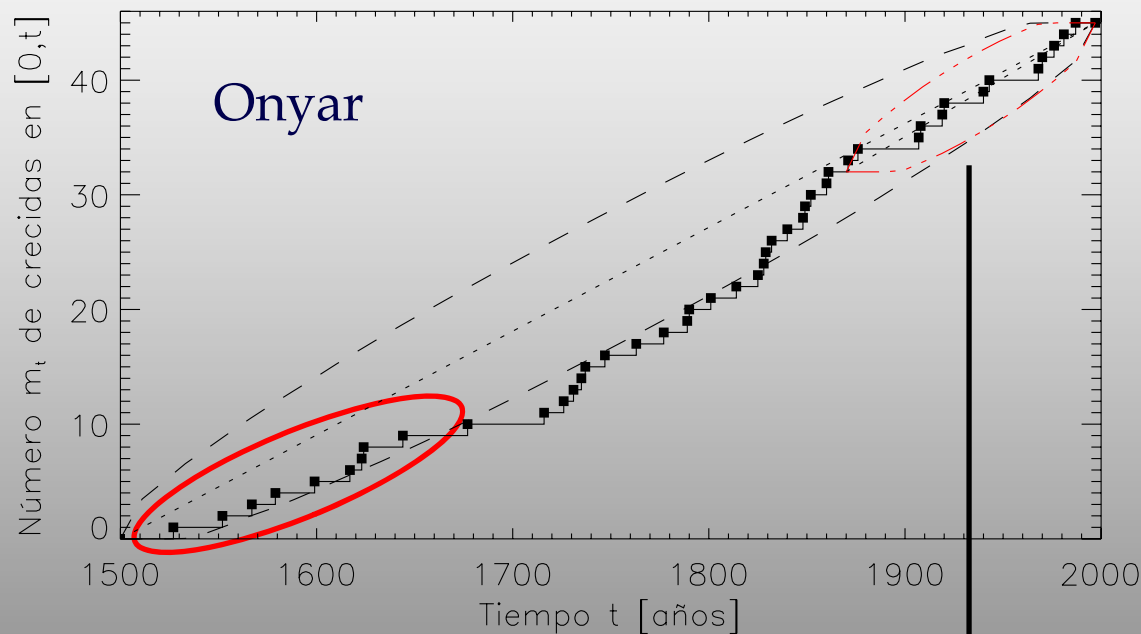
Longitudes grandes del período con información No Sistemática

- Cuestionar la estacionaridad:

Si el **régimen de crecidas** ha cambiado, es decir si las **características estadísticas** de las series **permanecen constantes** con el tiempo

# Análisis de Estacionaridad

Test estacionaridad para muestras censuradas (Lang et al. 1999)

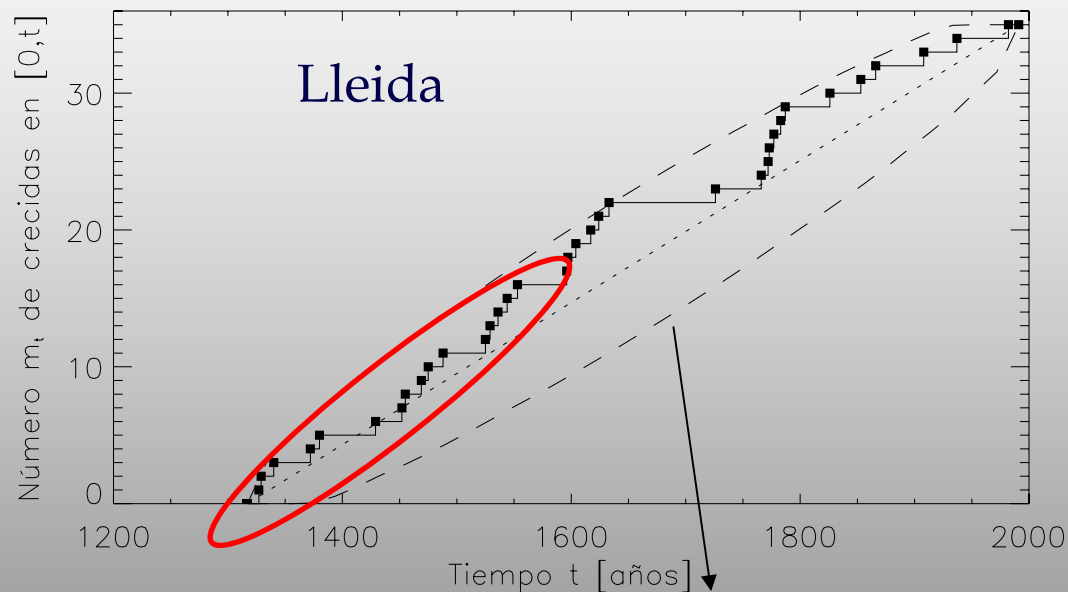


- Se recortan la serie del Onyar y la de Vilomara, considerando solo desde 1870

1870, Final de la LIA para la península Ibérica  
(Barriendos, Martín-Vide, 1998)

# Análisis de Estacionaridad

Test estacionaridad para muestras censuradas (Lang et al. 1999)



Intervalo del 90%  
para el número de  
eventos por encima  
de un umbral en el  
tiempo  $t$ )

- Futuro próximo  
→ pasado reciente

---

## Bondad del Ajuste

- **MML** (máxima verosimilitud logarítmica):

$$MLL = \sum_{i=1}^n \ln f(x_i, \hat{\theta}) \quad \text{Mejor ajuste, mayor MML}$$

- **AIC** (criterio de información de Akaike):

$$AIC = -2MLL + 2k \quad \text{Mejor ajuste, menor AIC}$$

- **Comparación visual de los ajustes a los datos** (probabilidad empírica)

→ Utilizando expresiones para muestras censuradas

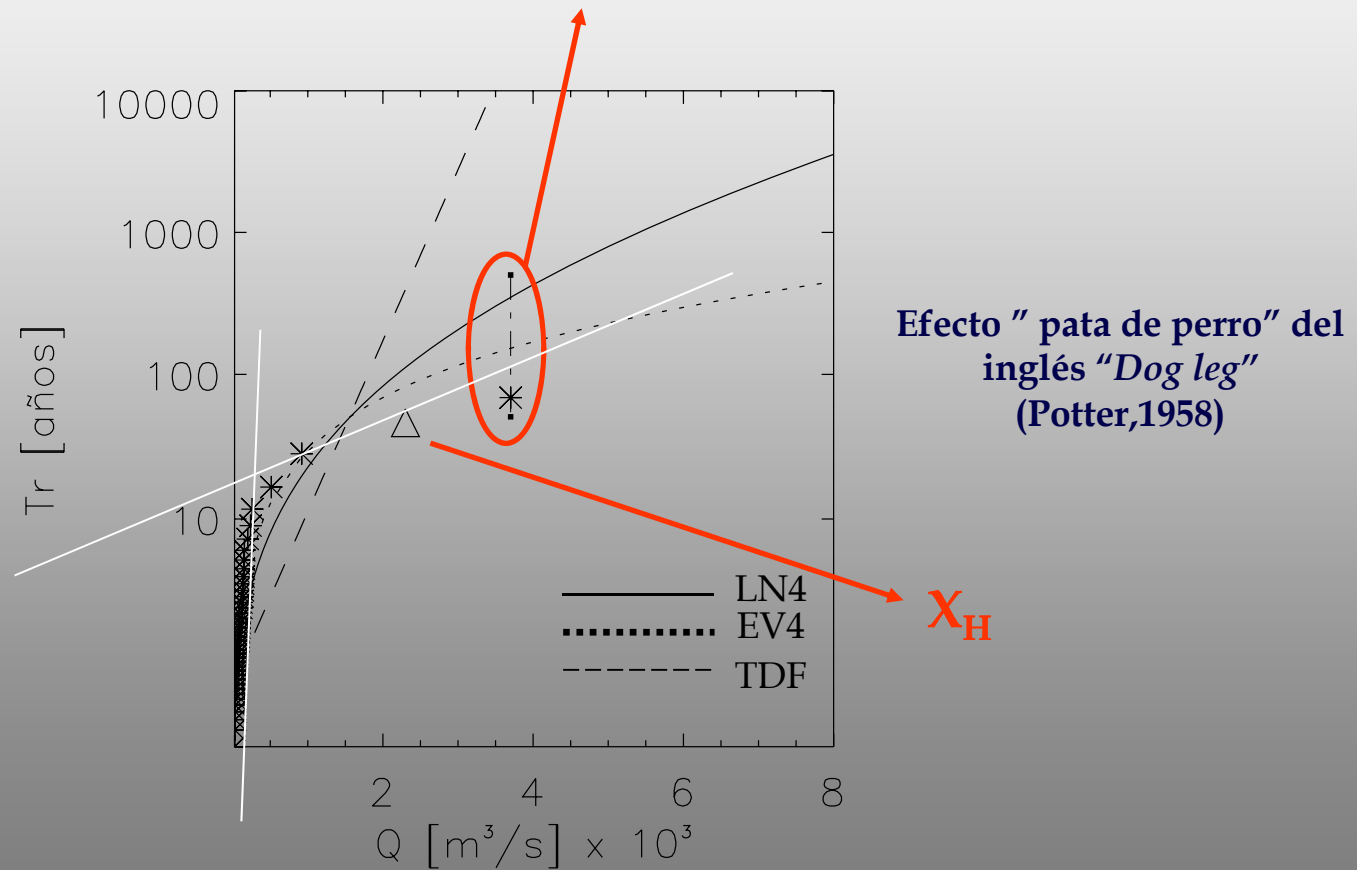
→ Indispensable conocer el orden de todos los datos

→ No es posible en muestras con datos LB. Intervalos

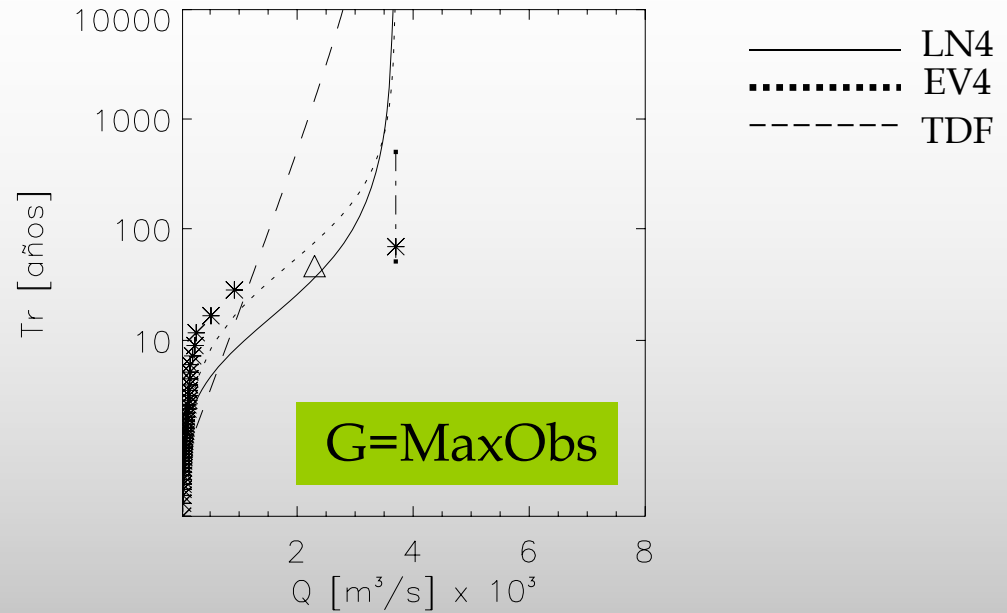
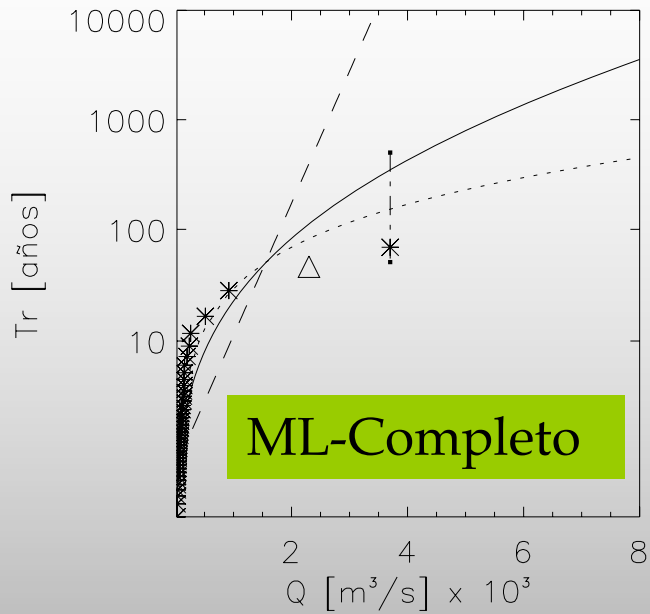
# Algunos ajustes

**Turia** LB, UB, EX

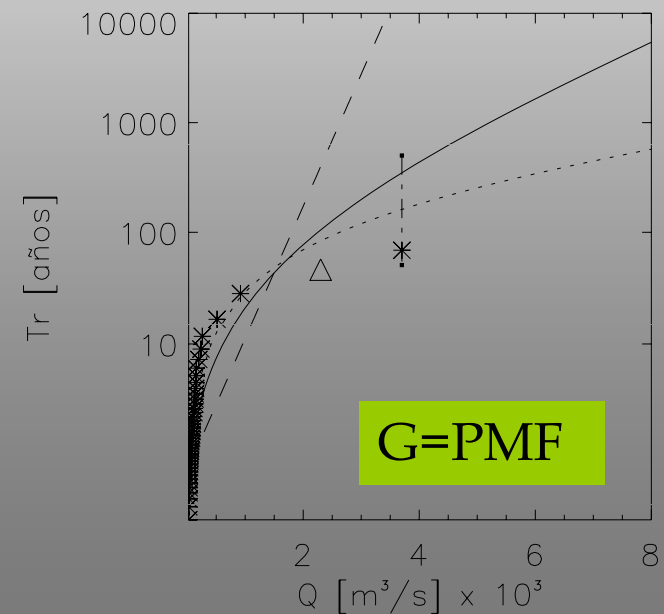
Intervalo de probabilidad empírica de un dato EX de magnitud mayor que el umbral LB



# Turia LB, UB, EX

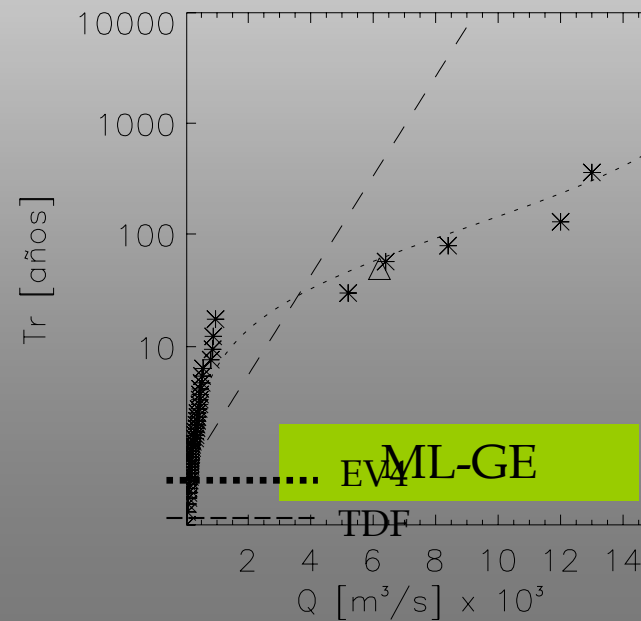
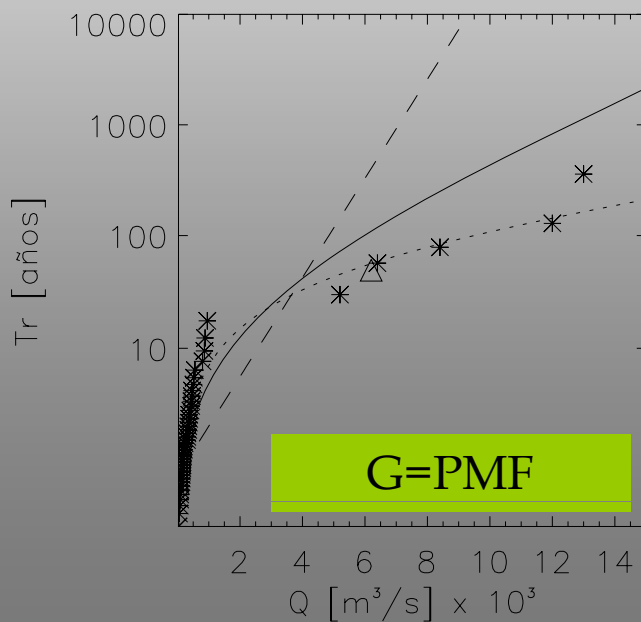
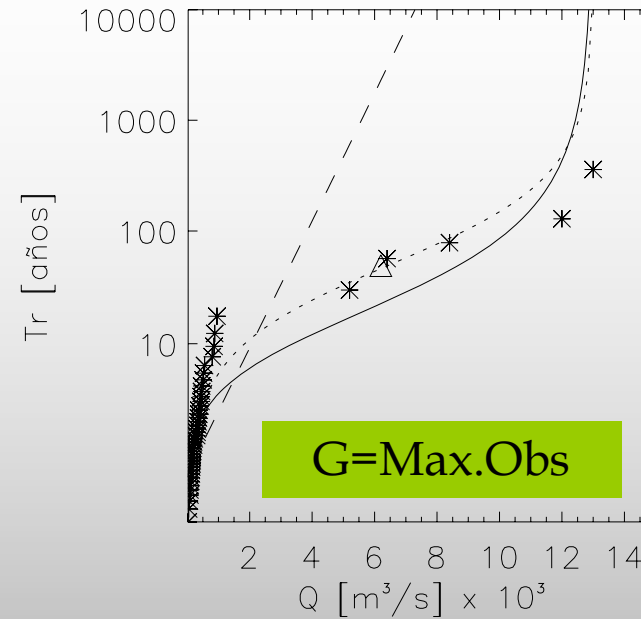
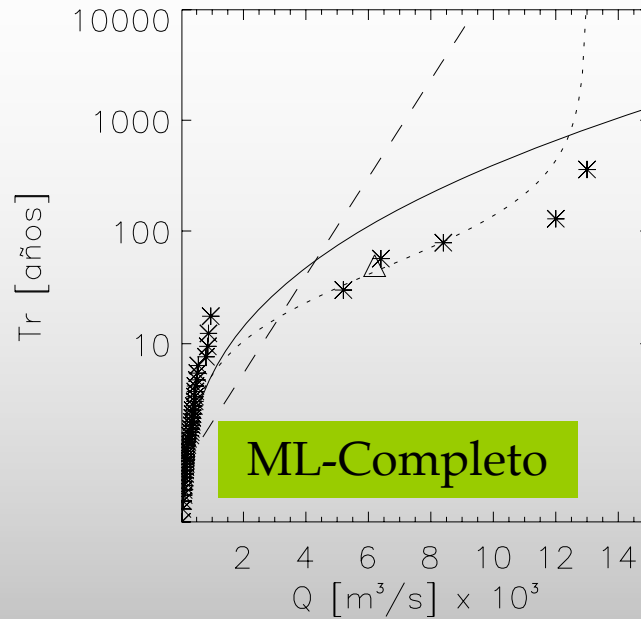


np	Modelo		MML	AIC
3	EV4/ML-Completo	39753.2	-262.69	531.384
2	EV4/G=PMF	20881.7	-262.76	529.516
2	EV4/G=XmaxObs	3700.1	-263.96	531.915
3	LN4/ML-Completo	41742.2	-272.05	550.099
2	LN4/G=PMF	20881.7	-272.34	548.672
2	LN4/G=XmaxObs	3700.1	-291.47	586.94
4	TDF/ML-Completo	43179.9	-323.37	654.744
3	TDF/G=PMF	20881.7	-323.37	652.745
3	TDF/G=XmaxObs	3700.1	-383.48	772.967





Júcar UB, EX




— LN4  
 ..... EV4  
 - - - TDF

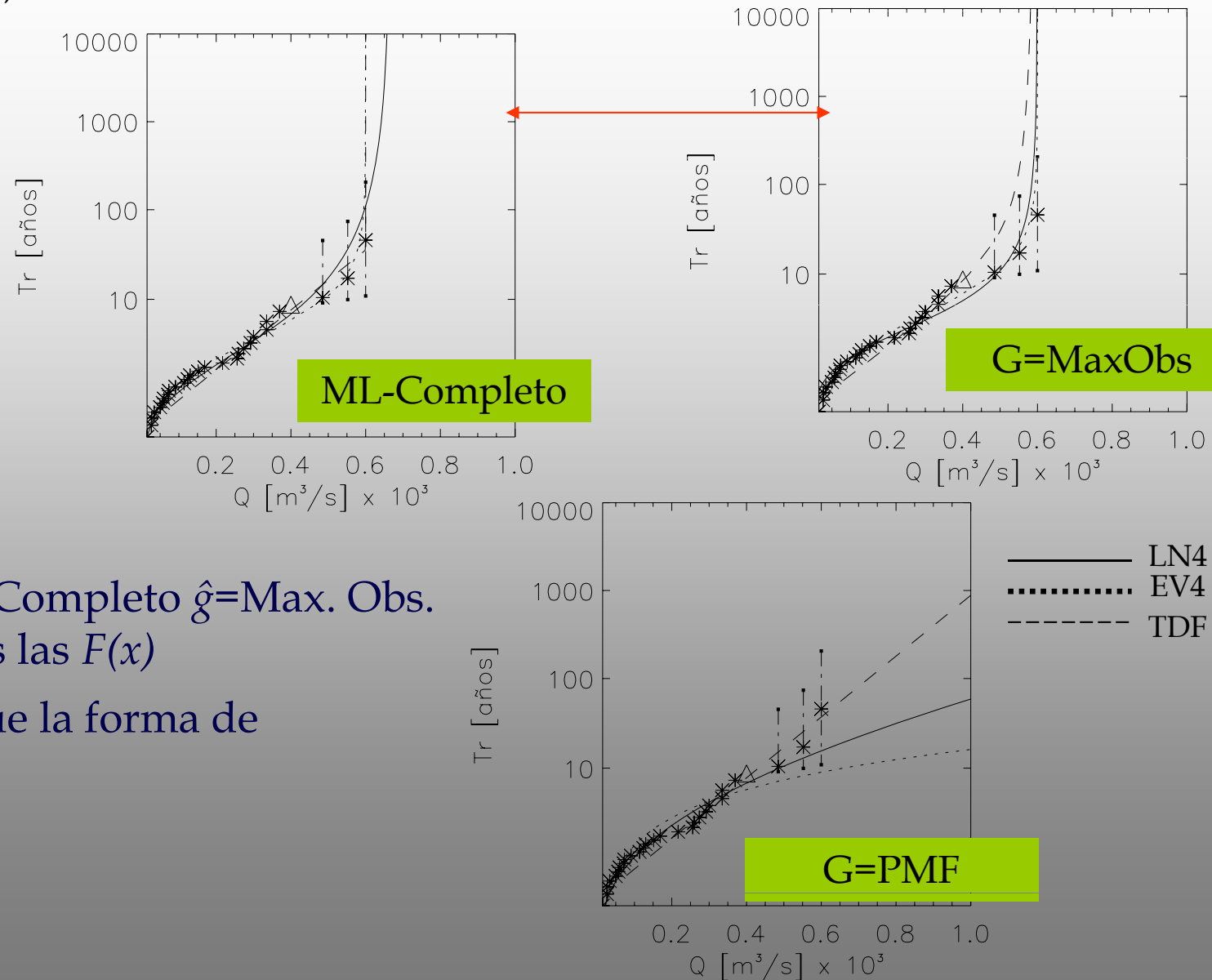
## Júcar UB, EX

np	Modelo		MML	AIC
3	EV4/ML-Completo	13000	-338.58	683.164
2	EV4/G=XmaxObs	13000.1	-338.8	681.591
3	EV4/ML-GE	18067.6	-340.03	686.055
2	EV4/G=PMF	34434.9	-340.74	685.471
3	LN4/ML-Completo	93066.3	-344.07	694.131
2	LN4/G=PMF	34434.9	-344.68	693.367
2	LN4/G=XmaxObs	13000.1	-367.26	738.525
4	TDF/ML-Completo	13000	-385.03	778.063
4	TDF/ML-GE	99253.2	-395.52	799.034
3	TDF/G=PMF	34434.9	-395.52	797.036
3	TDF/G=XmaxObs	13000.1	-449.76	905.514

Método con  $\hat{g} \neq \text{Max.Obs}$   
con mejor MML y AIC



**Onyar** LB, UB, EX



- Por ML-Completo  $\hat{g} = \text{Max. Obs.}$  para todas las  $F(x)$
- TDF sigue la forma de los datos

---

## Aspectos a Destacar de la Aplicación

- La función que mejor describe series con características de régimen mediterráneo es la **EV4**

- No LB  $\rightarrow$  **EV4/ML-GE**  $\rightarrow$  para un  $\hat{g} \neq \text{Max.Obs}$

- Cando hay LB : EV4/ML-Completo

EV4/G=PMF

LN4/ML-Completo



Si hay “efecto pata de perro”  $\rightarrow$  los que involucran **EV4**

- Coeficientes de Asimetría bajos, el máximo observado es determinante para estimar  $g$

- 
- CONCEPTOS FUNDAMENTALES
  - METODOLOGÍA
  - APLICACIÓN
  - **ANÁLISIS DEL ERROR**
  - **CONCLUSIONES**

# Simulación por MonteCarlo

Generando series  
sintéticas  
pertenecientes a :

**Escenario 1: Datos tipo UB, EX**

Coef. Asim. Alto  
 $\gamma_x=5.77$

**Escenario 2: Datos tipo UB, EX**

Coef. Asim. Menor  
 $\gamma_x=2.39$

**Escenario 3: Datos tipo UB, LB, EX**

Coef. Asim. Alto  
 $\gamma_x=5.77$

**Escenario 4: Datos tipo UB, LB, EX**

Coef. Asim. Menor  
 $\gamma_x=2.39$

**M + N**



Longitud del período Sistemático [100, 50]

Longitud del período Histórico [200, 400, 800]

**$T_H$**  → Período de retorno  
del Umbral de percepción  
 **$X_h$**  [25, 75, ..., 250] (9)

Explorar varias longitudes y  $T_H$ . En la línea de lo observado en las muestras con información No Sistemática

## Medida del Error

R.M.S.E

Adimensional

En porcentaje

$$Error(\%) = \frac{\sqrt{\frac{1}{N} \sum_{i=1}^N (\hat{\theta}_i - \theta)^2}}{\theta} \times 100$$

$\theta$   $\begin{cases} \rightarrow Q_T \\ \rightarrow g \end{cases}$  Teóricos

$\hat{\theta}_i$   $\begin{cases} \rightarrow \hat{Q}_T \\ \rightarrow \hat{g} \end{cases}$  Estimados a partir de la serie  $i$

# Modelos Incluidos en el Análisis de Error

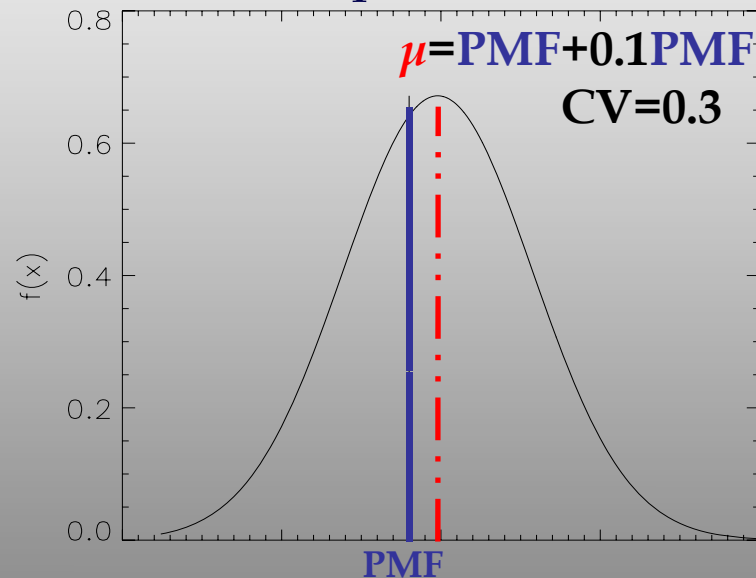
EV4/ML-GE

EV4/ML-Completo

EV4/G=PMF →

EV4/G=Max.Obs

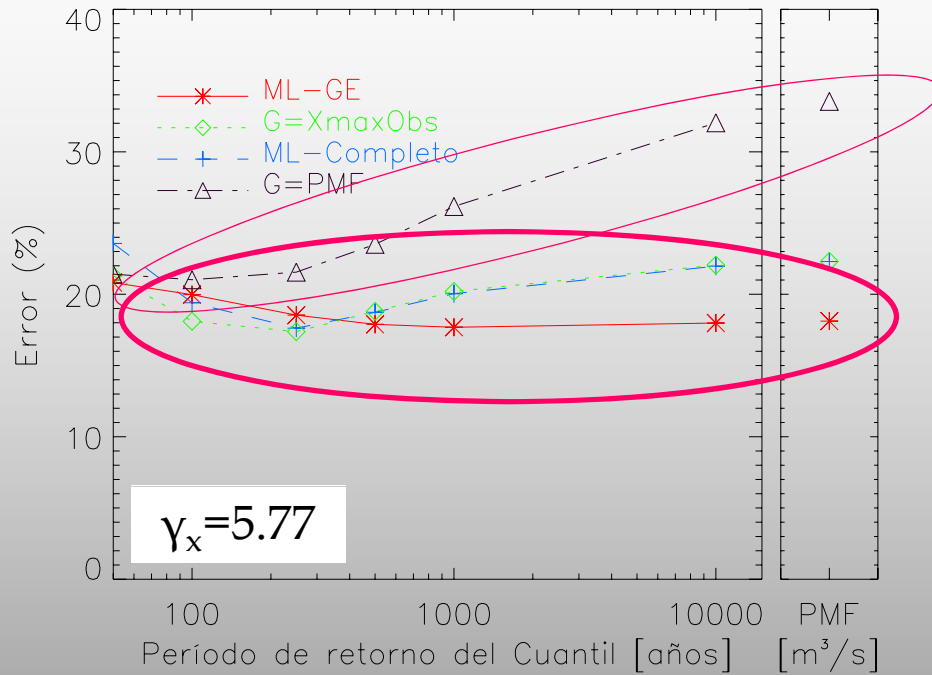
Se asume conocido el error asociado al valor PMF preestablecido



¿Cómo influye el error previo de la PMF en los cuantiles estimados?



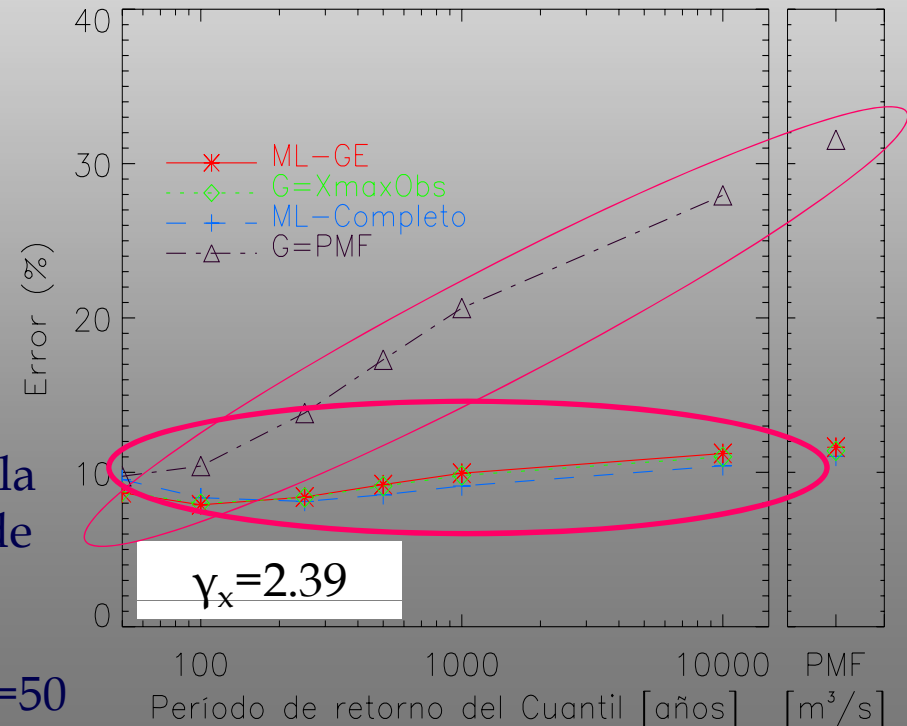
## Error con Información CE (datos UB y EX)



- E(%) por ML-Completo y G=MaxObs prácticamente igual

- Error de ML-completo, ML-GE, G=MaxObs, aprox del 20%, con asimetría mayor y 10% asimetría menor

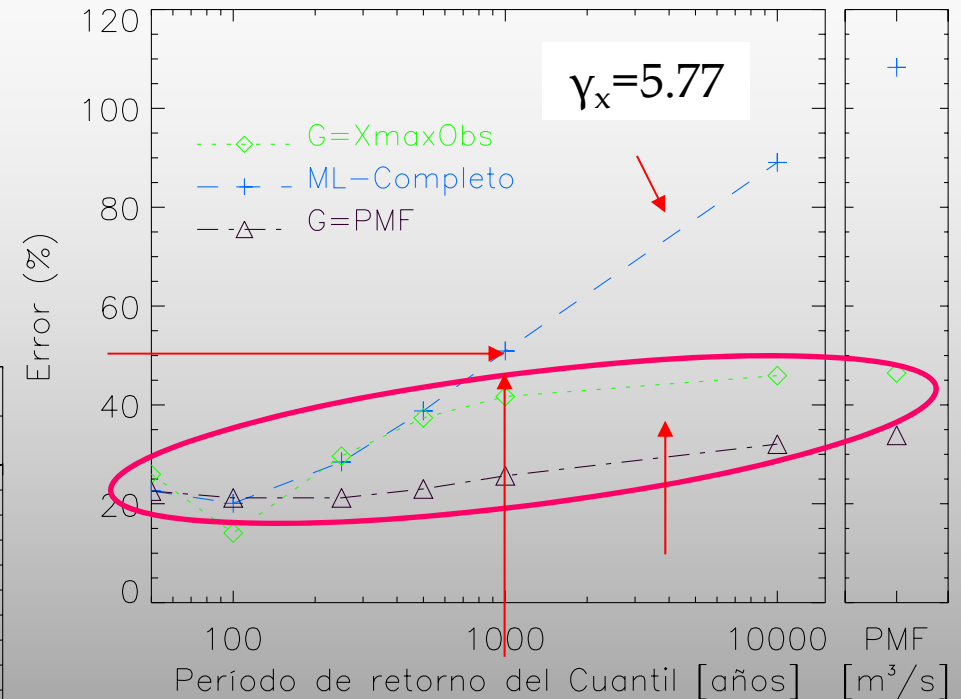
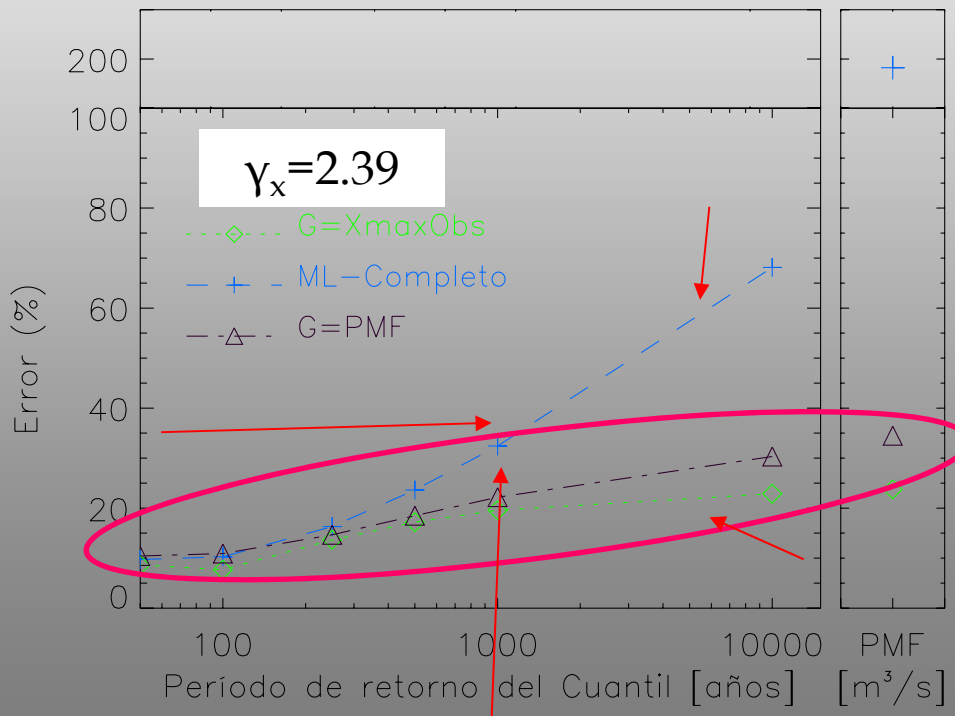
- E(%) a partir de cierto  $T_r$  aumenta
- Metodo ML-GE en E1 casi constante
- G=PMF mayor error. Directamente para la PMF y el cuantil de 10 mil años corresponde con el error asociado previo



Resultados para  $T_H = 100$  años,  $M = 400$  y  $N = 50$

## Error con Información BC (datos UB y EX)

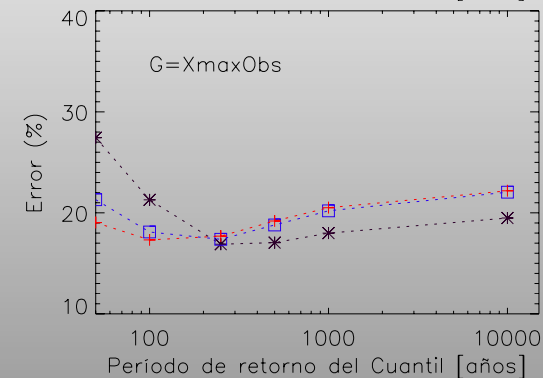
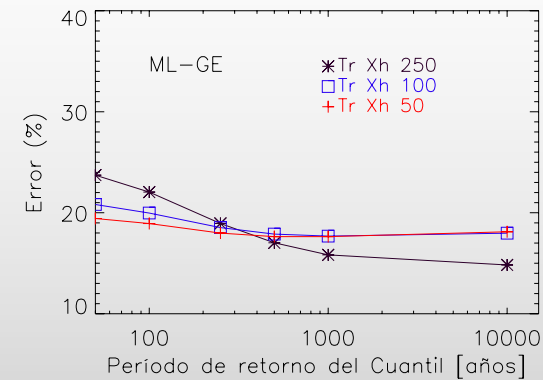
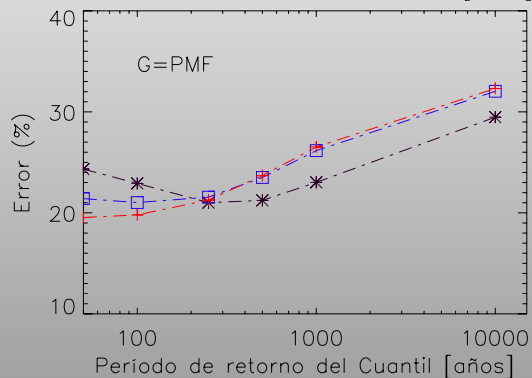
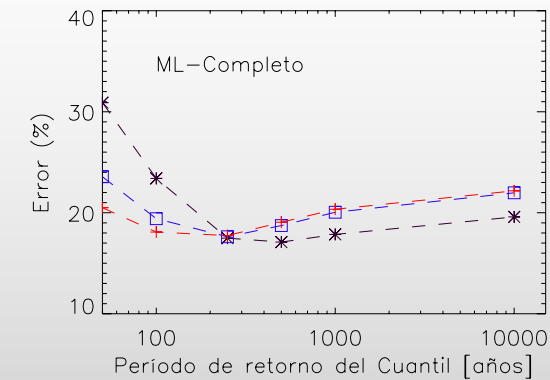
- E(%) por ML-Completo diferente al E(%) por G=Max. Obs.
- Menor error con Métodos g Preestablecido



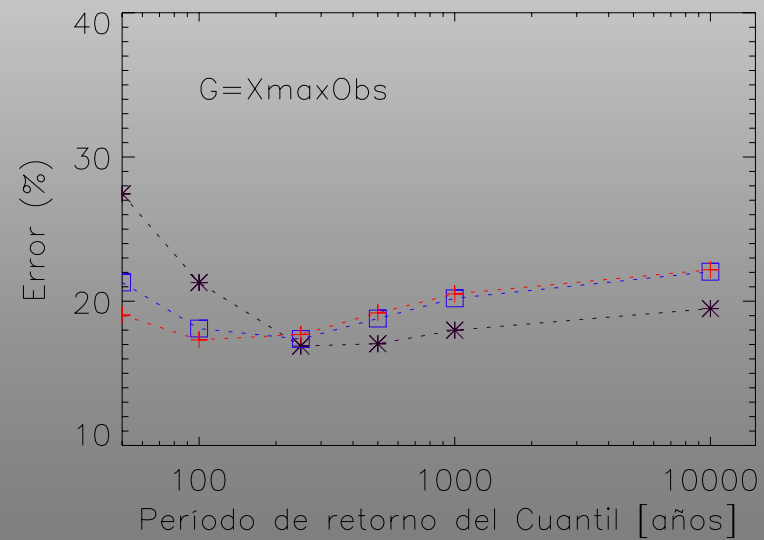
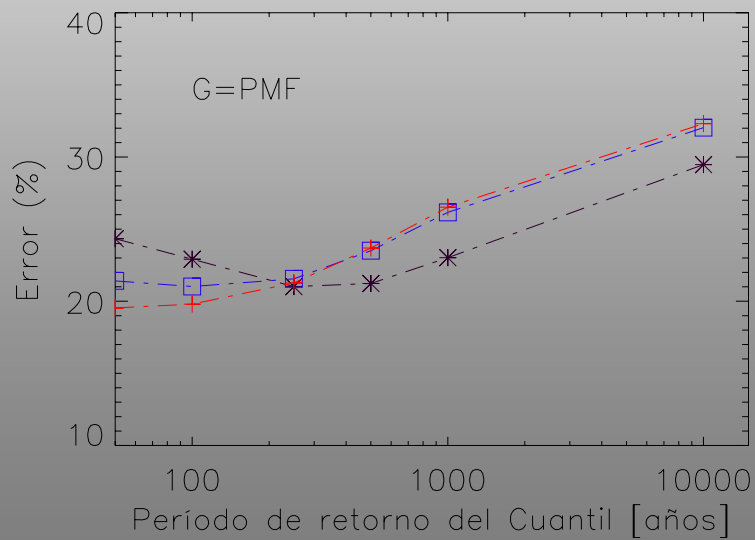
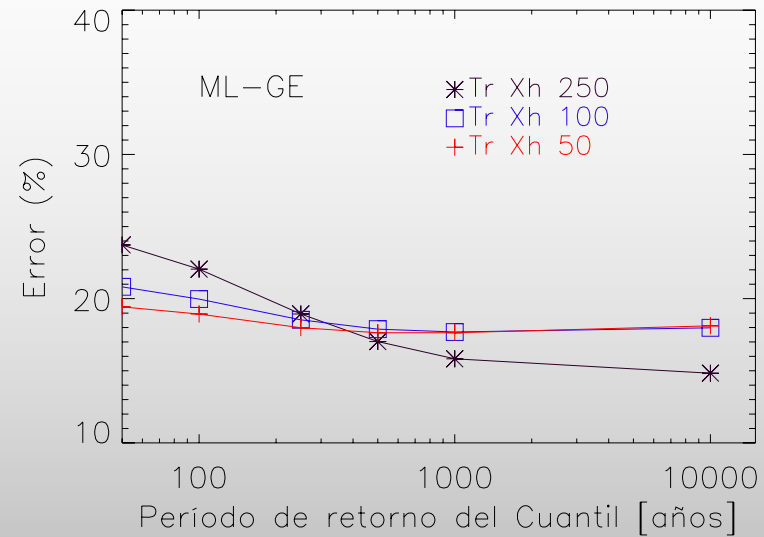
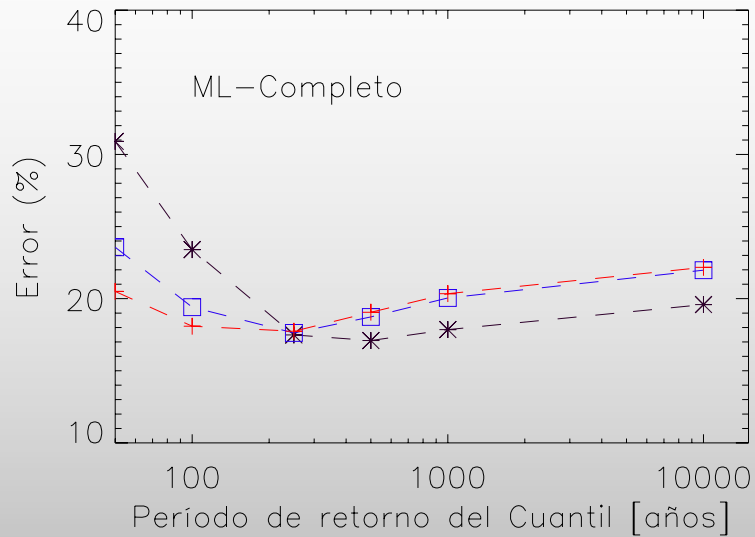
- ML-Completo a partir de  $q_T$  1000  
E(%) > 50% con asimetría mayor y  
E(%) > 40% con asimetría menor
- E(%) crece a partir de cierto  $T_r$

Resultados para  $T_H = 100$  años,  $M = 400$  y  $N = 50$

# Influencia del Umbral $T_H$ en el Error

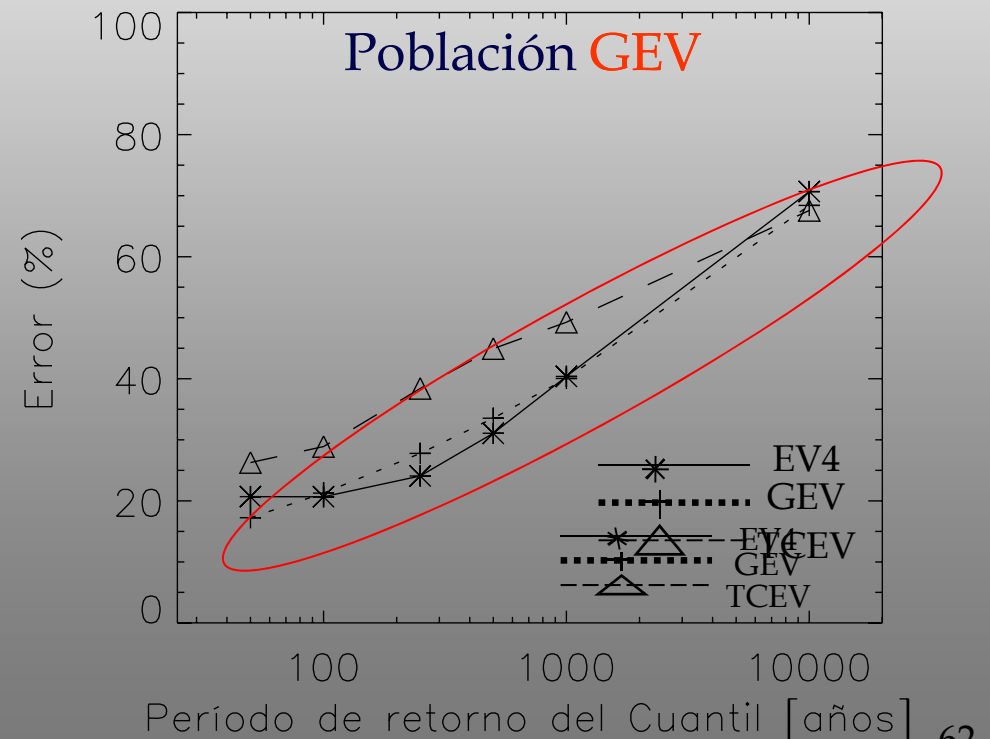
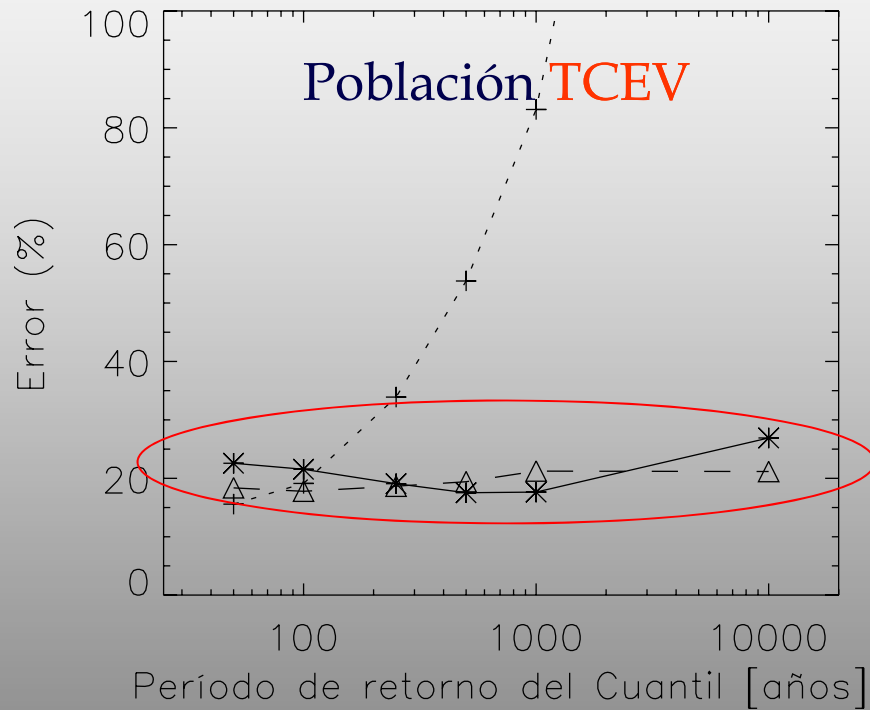


- Optimo de menor error aproximadamente cuando el  $T_r$  del  $q_T$  estimado igual al  $T_H$ . Reportado por Francés (1995). Pero para ML-Completo y ML-GE desplazado
- Punto de referencia que indica los cuantiles a los cuales la información No Sistemática está contribuyendo

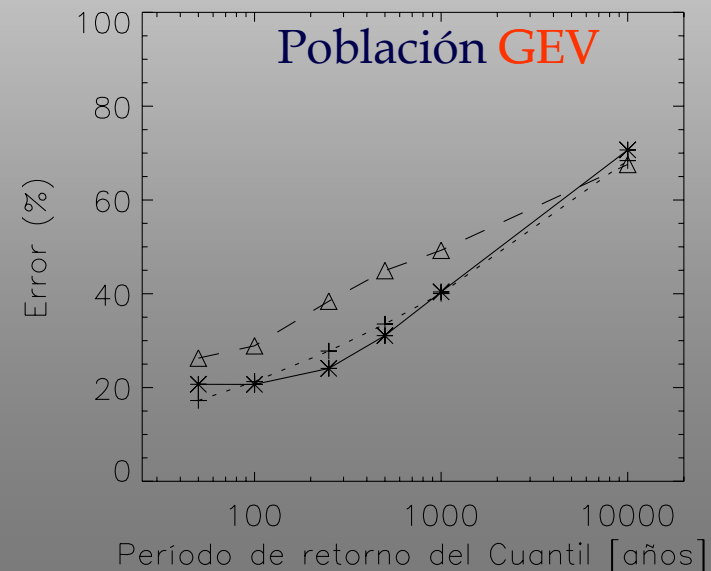
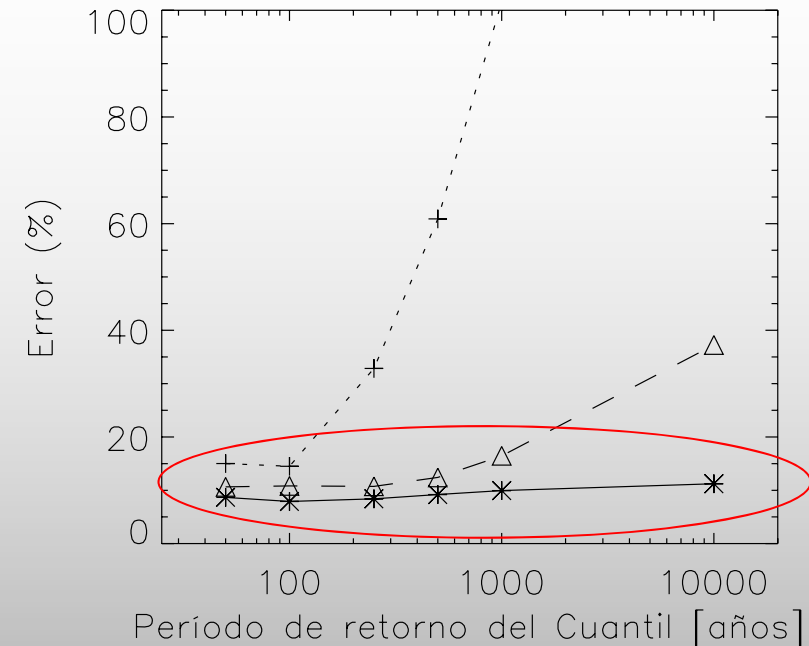
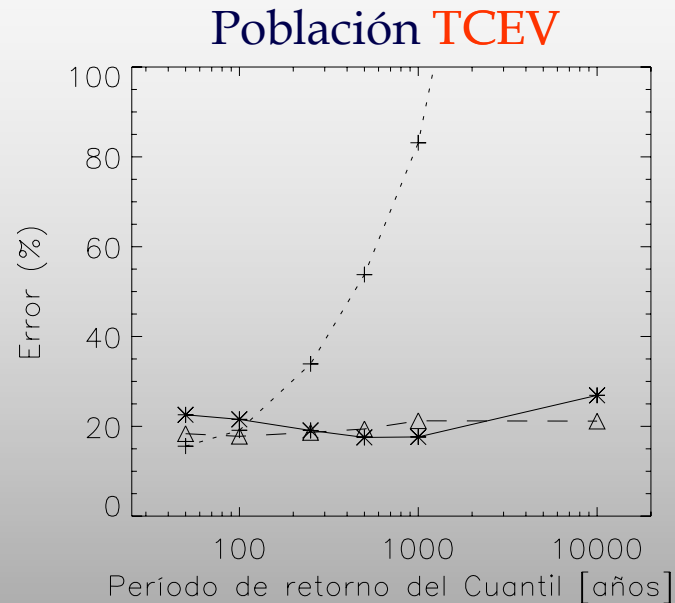


# Robustez

Comportamiento con series provenientes de otras poblaciones



Comportamiento con series provenientes de otras poblaciones



- EV4 puede modelar muestras provenientes de dos mecanismos generadores diferentes como las generadas con TCEV
- Presenta igual o mayor robustez que función sin límite GEV

Resultados para Escenario 2

- 
- CONCEPTOS FUNDAMENTALES
  - METODOLOGÍA
  - APLICACIÓN
  - ANÁLISIS DEL ERROR
  - **CONCLUSIONES**

## Respecto al comportamiento de las funciones de distribución:

- De las funciones con límite superior la **EV4** es la que mejor representa las características de los ríos mediterráneos. Muestra capacidad para describir series con el efecto “pata de perro”.

- La **TDF no se recomienda** en casos donde se presenta el efecto “pata de perro”.

## Respecto a la variación del error:

- Se destaca la presencia de un **óptimo de mínimo error**. En los métodos **ML-GE** y **ML-Completo** este óptimo se **desplaza** hacia los cuantiles de período de retorno mayor que el período de retorno del  $X_H$ .

## Respecto a la robustez:

- La EV4 demuestra **ser robusta** frente a muestras de una única población (GEV) y de dos poblaciones (TCEV).



## Respecto al tipo de Información No Sistemática:

- El estimador del límite superior de las funciones EV4 y TDF cuando hay datos tipo EX, UB y DB es la **máxima observación**.
- Es **posible estimar la PMF** como el límite superior de las funciones. Cuando se tiene información BC por el método **ML-Completo**. Cuando se tiene información CE por el método **ML-GE**.
- Se **recomienda** el uso del método **EV4/ML-GE** cuando se tiene información **CE** ya que produce los menores errores en los cuantiles de alto período de retorno.
- Con información **BC** se recomienda el **método-preestablecido** ya que produce los cuantiles con menor error.

---

# Aportes

- **Inclusión** en el análisis de frecuencia de crecidas de dos herramientas hasta ahora no utilizadas **conjuntamente**, como son la incorporación de **información No Sistemática** y el uso de **distribuciones con límite superior**.

- **Se analizó** la **capacidad descriptiva y predictiva** de las funciones **EV4, TDF y LN4**. Análisis de las relaciones entre los principales estadísticos y los parámetros de las funciones.

- **Sistematización** de la **información Sistemática y No Sistemática** para su **incorporación** en una estructura de **ML general**. Se implementa un esquema de ML el cual permite **agregar cualquier tipo de dato** que sea parte de la información Sistemática o de la No Sistemática.

- **Se sistematizaron diferentes alternativas** para la **estimación del límite superior** de las funciones.

- **Inclusión** de la **Ecuación Genérica** la cual no se reporta que haya sido utilizada antes en Hidrología.

• **Definición** de los casos cuando el **límite superior** puede ser estimado por **ML** sin obtener la **máxima observación**.

• **Especificación de las recomendaciones de uso** para estas funciones de distribución y para los métodos de estimación propuestos, a partir del análisis de robustez y de error realizados.

• **Se realizó por primera vez** el análisis de frecuencia **en ríos Españoles** con Información **No Sistemática** utilizando **funciones de distribución con límite superior**. Obteniendo un **estimador estadístico de la PMF** para todos ellos.

• **Se desarrolló** el software de libre distribución **AFINS** para el Análisis de Frecuencia de crecidas con Información No Sistemática.

<http://lluvia.dihma.upv.es/software.php?language=es>

---

## Futuras líneas de investigación

- Investigar comportamiento de las funciones bajo escenarios más complejos con otros tipos de datos No Sistemáticos.
- Error asintótico de la LN4 la cual también mostró buenos resultados en las aplicaciones.
- Analizar si es posible la implementación de una método que permita utilizar la Ecuación Genérica cuando se tienen datos LB.
- Desarrollo de un modelo que pueda involucrar la no estacionaridad de las series. Se puede beneficiar directamente del esquema tipo ML año año.

---

## Agradecimientos

- Al **Vicerrectorado de Investigación, Desarrollo e Innovación** de la **Universidad Politécnica de Valencia** y al **Grupo de Investigación en Hidráulica e Hidrología** del **Departamento de Ingeniería Hidráulica y Medio Ambiente** de la misma universidad, responsables de la beca F.P.I para la realización de los estudios de doctorado.
- Al proyecto europeo **SPHERE** (Systematic, Palaeoflood and Historical data for the improvEment of flood Risk Estimation) bajo el cual se desarrolló parte de esta tesis doctoral y de donde se obtuvo la mayoría de los datos utilizados.

---

**Gracias por su atención**

---

# Referencias

Barriendos, M. y Martin-Vide, J., 1998, Secular Climatic Oscilations in the Spanish Coastal Area, *Climatic Change*, 38, pags. 473-491.

Benito, G., Lang, M., Barriendos, M., Llasat, M. C., Francés, F., Ouarda, T., Thorndycraft, V. R., Enzel, Y., Bardossy A., Coeur, D. y Bobè, B., 2004a, Use of Systematic, Palaeoflood and Historical Data for the Improvement of Flood Risk Estimation. Review of Scientific Methods, *Natural Hazards*, 31, pags. 623-643.

Benito, G., Thorndycraft, V. R., Enzel, Y., Sheer, N. A., Rico, M., Sopena, A. y Sánchez-Moya, Y., 2004b, Palaeoflood Data Collection and Analysis, en Benito, G. y Thorndycraft, V. R., editores, *Systematic, Palaeoflood and Historical Data for the improvement of Flood Risk Estimation. Methodological Guidelines*, págs.15-27, CSIC - Centro de Ciencias Medioambientales.

Cohn, T. A., Lane, W. L. y Baier, W. G., 1997, An Algorithm for Computing Moment-Based Flood Quantile Estimates When Historical Flood Information is Available., *Water Resources Research*, 33(9), págs. 2089-2096.

Cooke, P., 1979, Statistical Inference for Bounds of Random Variables, *Biometrika*, 66, págs. 367-374.

Eliasson, J., 1994, Statistical Estimates of PMP Values, *Nordic Hydrology*, 25, págs.301-312.

Eliasson, J., 1997, A Statistical Model for Extreme Precipitation, *Water Resources Research*, 33(3), págs. 449-455.

England, J. F., Jarrett, R. D. y Salas, J. D., 2003, Data-Based Comparisons of Moments Estimators Using Historical and Paleoflood Data, *Journal of Hydrology*, 278, págs. 172-196.

Francés, F., 1995, *Utilización de la Información Histórica en el Análisis Regional de Avenidas*, Monografía No 27, Centro internacional de métodos numéricos en ingeniería.

Francés, F., Salas, J. D. y Boes, D. C., 1994, Flood Frequency Analysis with Systematic and Historical or Paleoflood Data Based on the Two Parameter General Extreme Value Models, *Water Resources Research*, 30(6), págs. 1653-1664.

Francou, J. y Rodier, J., 1969, Essai de Classification Des Crues Maximales, en *Floods and Their Computation*, páags. 518-527, IAHS/UNESCO/WMO.

Kanda, J., 1981, A New Value Distribution with Lower and Upper Limits for Earth-quake Motions and Wind Speeds, *Theoretical and Applied Mechanics. Tokyo*, 31, págs. 351-360.

---

Kijko, A., 2004, Estimation of the Maximum Earthquake Magnitude,  $M_{max}$ , *Pure and Applied Geophysics*, 161, págs. 1-27.

Kijko, A. y Sellevoll, M. A., 1989, Estimation of Earthquake Hazard Parameters from Incomplete Data Files. Part I. Utilization of Extreme and Complete Catalogs with Different Threshold Magnitudes, *Bulletin of the Seismological Society of America*, 79(3), págs. 645-654.

Lang, M., Ouarda, T. B. M. J. y Bobèe, B., 1999, Towards Operational Guidelines for Over-Threshold Modeling, *Journal of Hydrology*, 225, págs. 103-117.

Leese, M., 1973, Use of Censored Data in the Estimation of Gumbel Distribution Parameters for Annual Maximum Flood Series, *Water Resources Research*, 9(6), págs. 1534-1542.

Naghetini, M., Potter, K. W. y Illangasekare, T., 1996, Estimating the Upper Tail of Flood-Peak Frequency Distributions Using Hydrometeorological Information, *Water Resources Research*, 32(6), págs. 1729-1740.

NRC, 1988, *Estimating Probabilities of Extreme Floods, Methods and Recommended Research*, National Research Council, National Academy Press, Washington, D. C.

O'Connell, D. R. H., 2005, Nonparametric Bayesian Flood Frequency Estimation, *Journal of Hydrology*, 313, págs. 79-96.

O'Connell, D. R. H., Ostenaar, D. A., Levish, D. R. y Klinger, R. E., 2002, Bayesian Flood Frequency Analysis with Paleohydrologic Bound Data, *Water Resources Research*, 38(5), págs. 16. 1- 16. 14.

Pilon, P. J. y Adamowski, K., 1993, Asymptotic Variance of Flood Quantile in Log Pearson Type III Distribution with Historical Information, *Journal of Hydrology*, 143, págs. 481-503.

Potter, W. D., 1958, Upper and Lower Frequency Curves for Peak Rates of Runoff, *EOS. Trans. AGU*, 39, págs. 100-105.

Stedinger, J. R. y Baker, V. R., 1987, Surface Water Hydrology: Historical and Paleoflood Information, *Reviews of Geophysics*, 25(2), págs. 119-124.

Stedinger, J. R. y Cohn, T. A., 1986, Flood Frequency Analysis with Historical and Paleoflood Information, *Water Resources Research*, 22(9), págs. 785-793.



---

Slade, J. J., 1936, An Asymmetric Probability Function, *Transactions. American Society of Civil Engineers*, 62, págs. 35-104.

Smith, K. y Ward, R., 1998, *Floods. Physical Processes and Human Impacts*, John Wiley and Sons.

Takara, K. y Loebis, J., 1996, Frequency Analysis Introducing Probable Maximum Hydrologic Events: Preliminary Studies in Japan and in Indonesia, en Loebis, J., editor, *Proceedings of International Symposium on Comparative Research on Hydrology and Water Resources in Southeast Asia and the Pacific*, págs. 67-76, Indonesian National Committee For International Hydrological Programme.

Takara, K. y Tosa, K., 1999, Storm and Flood Frequency Analysis Using PMP/PMF Estimates, en *Proceedings of International Symposium on Floods and Droughts, Nanjing, China, 18-20 October*, págs. 7-17.

USWRC, 1982, *Guidelines for Determining Flood Frequency*, U.S. Government Printing Office, Washington, DC.

WMO, 1986, *Manual for Estimation of Probable Maximum Precipitation*, World Meteorological Organization, Operational Hydrology Report.